

## بررسی ویژگی‌ها و شرایط جوی تشکیل سامانه‌های همرفتی میان‌مقیاس پدیدآورنده‌ی سیل (پژوهش موردی: ۴ و ۵ فروردین ۱۳۹۸)

سمیه رفعتی<sup>۱</sup>، استادیار گروه جغرافیا، دانشگاه سید جمال‌الدین اسدآبادی، اسدآباد، ایران.

پذیرش نهایی: ۱۳۹۹/۱۰/۲۵

دریافت مقاله: ۱۳۹۹/۰۷/۱۰

### چکیده

در این مطالعه سعی شد ویژگی‌های سامانه‌های میان‌مقیاس همرفتی پدیدآورنده‌ی سیل روزهای ۴ و ۵ فروردین ۹۸ با کاربرد تصاویر ماهواره‌ای تعیین و سپس شرایط جوی رخداد آن‌ها بررسی شود. برای این منظور تصاویر متسوست نسل دوم با تفکیک مکانی ۳ کیلومتر و تفکیک زمانی ۱۵ دقیقه و همچنین داده‌های بازکاوی ECMWF با تفکیک مکانی ۰/۱۲۵ درجه طول و عرض جغرافیایی به کار گرفته شد. به طور کلی نتایج این پژوهش نشان داد سه سامانه‌ی همرفتی میان‌مقیاس با بیشینه مساحتی بین ۷۳ تا ۶۶۰ هزار کیلومتر مربع و ویژگی‌های حرکتی متفاوت در روزهای ۴ و ۵ فروردین ۱۳۹۸ بخش‌های مختلفی از ایران را تحت تاثیر قرار دادند. در روزهای رخداد، ریزش هوای سرد عرض‌های بالا توسط پرفشار آזור و تزریق هوای گرم و مرطوب توسط پرفشار روی دریای عمان و دریای عرب صورت گرفته که باعث فعال شدن منطقه همگرایی دریای سرخ به همراه سامانه‌ی مدیترانه‌ای شده است. این شرایط پدیدآورنده‌ی رودباد سطح پایین، جفت شدن رودباد سطوح پایین و بالا و تقویت یکدیگر شده که نتیجه آن تقویت، تداوم و گسترش سامانه‌های همرفتی میان‌مقیاس بوده است. همچنین احتمالاً چینش عمودی قابل توجه باد نیز منجر به شکل‌گیری سلول‌های همرفتی جدید در مناطقی دور نسبت به منشأ سلول‌های اولیه شد.

واژه‌های کلیدی: بارش شدید، رودباد سطح بالا، رودباد سطح پایین، چینش عمودی باد، تصاویر MSG

## مقدمه

بارش‌های سیل‌آسا یکی از مهم‌ترین عوامل مخاطرات طبیعی است. بیش‌تر بارش‌های سنگین با سامانه‌های همرفتی میان‌مقیاس (MCSs) مرتبط هستند (Zipser, ۱۹۸۲) که عمدتاً به دلیل درجه بالای سازمان‌یافتگی<sup>۱</sup> ساختارهای بارش همرفتی آن‌ها است. سازمان‌یافتگی این سامانه‌ها امکان تداوم طولانی‌تر و گستردگی بیش‌تر را فراهم می‌آورد (Rigo et al., ۲۰۱۹). بر اساس مطالعه هوز (Houze, ۲۰۰۴)، MCSs حاصل پیوند همرفت جوی و جریانات جوی با مقیاس بزرگ‌تر هستند. این پیوند عمدتاً به وسیله‌ی حرکات صعودی قوی در داخل سامانه‌ها ایجاد می‌شود که در اغلب موارد به وردایست می‌رسد و باعث تعدیل گرما در جو می‌شود.

در مطالعات بسیاری به سهم مهم سامانه‌های همرفتی میان‌مقیاس در تولید بارش‌های سیل‌آسا در عرض‌های جغرافیایی میانی و پایین اشاره شده است. به عنوان نمونه در مطالعه ریگو و لست (۲۰۰۷) مشخص شد بیش از ۵۰٪ رخدادهای بارش‌های سنگین ثبت شده در کاتالونیا توسط MCSs ایجاد شده‌اند (Rigo and Llasat, ۲۰۰۷)، یا در مطالعه‌ی دیگری روشن شد این نوع سامانه‌ها مسوول بیش‌تر سیل‌های مخرب بخش‌های مختلف مدیترانه بوده‌اند (Llasat et al., ۲۰۱۶). مطالعاتی در مرکز و شرق ایالات متحده نیز نشان داد که درصد زیادی (در حدود ۶۰٪ تا ۷۰٪) از رخداد‌های بارش‌های فرین پدیدآورنده‌ی سیل‌های برق‌آسا با بارش ۲۴ ساعته‌ای بیش از دوره‌ی بازگشت ۵۰ سال، از سامانه‌های همرفتی میان‌مقیاس ناشی شده بودند (Schumacher and Johnson, ۲۰۰۵; ۲۰۰۶).

وجود هوای سرد در سطح زمین با اختلاف دمای زیاد نسبت به هوای گرم اطراف<sup>۲</sup>، که به وسیله‌ی جریان خروجی اولین سلول‌ها ایجاد و با جریان خروجی همرفت‌های بعدی پشتیبانی می‌شود، هم‌کنشی با هوای اطراف ایجاد می‌کند که می‌تواند شرایط لازم را برای ادامه یافتن فعالیت همرفتی فراهم کند (Peters and Schumacher, ۲۰۱۵). به طور کلی طول عمر سامانه‌های میان‌مقیاس همرفتی به دو فاکتور مهم وابسته است: ۱. درجه سازمان‌یافتگی همرفت در ریزمقیاس و میان‌مقیاس در سامانه بارشی و ۲. موقعیت نسبی منطقه همرفت اصلی با در نظر گرفتن مسیر سامانه بارشی (Parker and Johnson, ۲۰۱۵; Lane and Moncrieff, ۲۰۱۵; Moncrieff and Lane, ۲۰۱۵). از این جهت محققین طبقه‌بندی‌های متفاوتی بر اساس تصاویر راداری و طبقه‌بندی‌های اولیه (Maddox, ۱۹۸۰; Houze et al., ۱۹۹۰; Bluestein and Jain, ۱۹۸۵ or Bluestein et al., ۱۹۸۷) ارائه کرده‌اند. به طور ویژه دو نوع MCSs بارش‌های فرین تولید می‌کنند. نوع اول MCSs شبه پایدار<sup>۳</sup> هستند که در آن‌ها نواحی بارشی همرفتی تقریباً ثابت است، به این صورت که سلول‌های جدید در بالادست سلول‌های همرفت قدیمی‌تر تولید می‌شوند. نوع دوم MCSs خطی<sup>۴</sup> هستند که حرکت سلول‌های همرفتی عمدتاً به موازات خط و پشت‌سرهم است، که باعث تداوم حضور سلول‌های همرفتی در یک ناحیه مشخص می‌شود (Corfidi et al., ۱۹۹۶; Doswell et al., ۱۹۹۶; Schumacher and Johnson, ۲۰۰۵; Schumacher, ۲۰۰۹).

<sup>۱</sup> شکل و اندازه سامانه و آرایش سلول‌های همرفتی در آن

<sup>۲</sup> Cold Pool

<sup>۳</sup> backbuilding

<sup>۴</sup> training-line/adjoining-stratiform

اولین شرط تشکیل چنین سامانه‌هایی فراهم شدن مداوم عناصر همرفت مرطوب در محل MCS توسط عواملی با مقیاس همدید است. عناصر همرفت مرطوب به طور معمول شامل منبع هوای گرم و مرطوبی است که توسط رودباد سطح پایین فراهم می‌شود و به بیشینه CAPE و کمینه مهار همرفتی موجود در بالای سطح زمین منجر می‌شود. تحلیل‌ها نشان می‌دهد چنین رخدادهایی بیش‌تر در لایه ناپایدار مشروط در امتداد همگرایی حاشیه شمالی رودباد سطح پایین<sup>۱</sup> و صعود بزرگ مقیاس مرتبط با آن به وجود می‌آیند (Moore, ۲۰۰۰; Laing and Fritsch, ۲۰۰۰; Augustine and Caracena, ۱۹۹۴). مطالعات در مقیاس ۲۰۱۴ (Peters and Schumacher, ۲۰۰۶; ۲۰۰۵; Schumacher and Johnson, ۲۰۰۳; et al., ۲۰۰۳). مقیاس سینوپتیک نشان دادند سامانه‌های همرفتی میان مقیاس تحت شرایط جوی مشخصی مثل جبهه‌ی سطح زمین همراه با ناه سطح بالا، یا ناپایداری شدید در مجاورت پرفشار جنب‌حاره‌ای رخ می‌دهند. به عنوان نمونه بنا به نتایج مطالعات متعدد در کره جنوبی مشخص شده است که رودباد سطح پایین جنوب‌غربی، فرارفت هوای سرد مرتبط با آشفتگی‌های سطح بالا، ناپایداری پتانسیل، فرارفت هوای گرم و مرطوب نشأت گرفته از جنوب و مرکز چین و رودباد قوی سطح بالا شرایط مطلوب برای رخداد سامانه‌های همرفتی میان مقیاس و بارش سنگین هستند (Kim and Lee, ۲۰۰۶). پیترز و شوماخر سامانه‌های همرفتی میان مقیاسی که بارش‌های سنگین تولید کردند را با کاربرد تحلیل مولفه اصلی به دو زیر گروه نوع فصل گرم و نوع سینوپتیک تقسیم نمودند. در این مطالعه نشان داده شد که هر دو نوع MCSs در طرف سرد مرز جبهه‌ای سطح پایین نسبتاً ثابتی داخل منطقه‌ای با بیشینه همگرایی سطح پایین و وزش گرم بوجود می‌آیند. نوع سینوپتیک که گسترش بیش‌تری دارد عموماً در جلوی تراف سطح بالا رخ می‌دهد. واداشت مقیاس سینوپتیک در نوع سینوپتیک قوی‌تر بوده در حالی که رطوبت سطح پایین در نوع فصل گرم بیش‌تر بوده است (Peters and Schumacher, ۲۰۱۴). مادوکس (Maddox, ۱۹۸۳) براساس تجزیه و تحلیل ده MCCs<sup>۲</sup> که در ایالات متحده مرکزی توسعه یافته‌اند، نتیجه گرفت که این سامانه‌ها در منطقه‌ی همگرایی و صعود میان مقیاسی توسعه یافته‌اند که عمدتاً توسط وزش هوای گرم سطح پایین ایجاد شده‌اند. اگرچه این صعود در جلوی فرود ضعیف سطح میانی رخ می‌دهد، اما او دریافت که واداشت سطوح پایین بر آن تسلط دارد. هرچند فرود به تقویت توسعه همرفتی از طریق مشارکت خود در ساختار ترمودینامیک ناپایداری مشروط و تغییر جهت بادهای سطح پایین کمک می‌کند، که برای سازمان‌دهی و توسعه MCC لازم است. لینگ و فریتش (Laing and Fritsch, ۲۰۰۰) بر اساس مطالعه خود و چندین مطالعه دیگر، تحلیل‌شان را به ۵ مرکز جهانی توسعه MCC (آفریقا، استرالیا، چین آمریکای جنوبی و ایالات متحده) گسترش دادند. آن‌ها بر اساس ۱۲ رخداد برای هر مرکز، دریافتند که شرایط جوی شکل‌گیری این سامانه‌ها خیلی مشابه است که شامل نواحی کژفشاری قابل توجه به همراه مقادیر محلی بالای چینش عمودی باد<sup>۳</sup> سطوح پایینی جو و CAPE است. شکل‌گیری همرفت در جایی رخ می‌دهد که بیشینه‌ی رطوبت مطلق و کمینه‌ی پایداری استاتیک در رودباد سطح پایین با دمای تر پتانسیل بالا وجود دارد.

<sup>۱</sup>. southerly low-level jet

<sup>۲</sup>. Mesoscale Convective Complexes

<sup>۳</sup>. Vertical wind shears

چینش عمودی باد نیز همان‌طور که اشاره شد یکی از عوامل مهم تعیین‌کننده توسعه سامانه‌های میان‌مقیاس همرفتی است. مطالعات زیادی اثر چینش عمودی باد را بر شدت و سازمان‌یافتگی این سامانه‌ها بررسی کردند (Coniglio et al., ۲۰۰۴; Weisman and Rotunno, ۲۰۰۶; Takemi, ۲۰۰۶). هم‌کنش جریان خروجی با چینش عمودی باد چرخه زندگی همرفت و به ویژه طول عمر و ساختار دینامیکی خط تندر را تحت تاثیر قرار می‌دهد (Rotunno et al., ۱۹۸۸). این جریانات اگر به محیطی مطلوب برسند، می‌توانند همرفت را در فواصل زیادی از منشا خود، آغاز کنند (Carbone et al., ۱۹۹۰)، به عنوان نمونه در صورت برخورد با جریانات خروجی و خطوط همگرایی دیگر (Moncrieff and Liu, ۱۹۹۹). در مطالعه‌ی کنیلیو و همکاران (Coniglio et al., ۲۰۰۷) بر روی سامانه‌های با عمر طولانی، چینش عمودی باد در لایه‌ای خیلی عمیق به عنوان عاملی مهم در ارتباط با طول عمر سامانه نشان داده شد. لین و مونکریف (Moncrieff and Lane, ۲۰۱۰; Lane and Moncrieff, ۲۰۱۰) سامانه‌های میان‌مقیاس همرفتی با طول عمر زیاد را به منظور یافتن پدیده‌های کلیدی که این چرخه‌های عمر طولانی را توجیه می‌کند، به طور عددی شبیه‌سازی و بررسی نمودند. آن‌ها متوجه شدند که گسترش در جهت بردار چینش باد<sup>۱</sup> یا خلاف جهت آن<sup>۲</sup> نقشی تعیین‌کننده بازی می‌کند. هرچند درک محققین از این سامانه‌ها هنوز محدود است، به ویژه در رابطه با فرایندهایی که باعث سازمان‌یافتگی آن‌ها می‌شوند (Lane and Moncrieff, ۲۰۱۰).

در ایران محققین بسیاری به بررسی الگوهای همیدی رخداد سامانه‌های مولد سیل پرداختند (سبزی‌پرور، ۱۳۷۰؛ مولا، ۱۳۷۴؛ لشکری، ۱۳۷۵؛ رئوفی‌فرد، ۱۳۷۶؛ نصیری، ۱۳۷۸؛ امیری، ۱۳۷۸؛ پرنده، ۱۳۷۸؛ حجتی‌زاده، ۱۳۸۱؛ لشکری، ۱۳۸۲؛ انصاری، ۱۳۸۲؛ مفیدی، ۱۳۸۲؛ مفیدی و زرین، ۱۳۸۴ الف و ب؛ رحیمی و همکاران ۱۳۸۹). بر اساس تعداد زیادی از این مطالعات منشا بارش‌های رگباری، شدید و سیل‌آسا در جنوب، جنوب‌غرب، غرب و حتی نواحی داخلی ایران سامانه‌ی کم‌فشار سودانی یا زبانه‌ی کم‌فشار دریای سرخ معرفی شده است. این سامانه‌های بدون جبهه که در بدو تشکیل به صورت یک مرکز همگرایی کم‌عمق در شمال‌شرق آفریقا مشاهده می‌شوند، حتی به عنوان مهم‌ترین سازو کار بارش‌زا در برخی از مناطق شرق مدیترانه و ایران شناخته شده‌اند (مفیدی و زرین، ۱۳۸۴). از سوی دیگر مشخص شده است که رخداد سامانه‌های همرفتی منجر به بارش‌های سنگین در جنوب‌غرب ایران تا اندازه زیادی وابسته به گسترش و نفوذ زبانه‌ی کم‌فشار سودانی است و بخش گسترده‌ای از سامانه‌هایی که جنوب‌غرب ایران را تحت تاثیر قرار دادند، در امتداد منطقه‌ی همگرایی دریای سرخ شکل گرفتند (رفعتی و همکاران، ۱۳۹۳). با توجه به دمای پتانسیل و ظرفیت رطوبتی بالای این سامانه‌های حاره‌ای/جنوب‌حاره‌ای، بارش‌های شدید و سیل‌آسا یکی از مشخصه‌های آن‌ها است (مفیدی، ۱۳۸۲). هرچند برخی از کم‌فشارهای سودانی صرفاً با جابجایی به سمت جنوب و تشدید و تقویت جت جنوب‌حاره به وجود می‌آیند (در برخی موارد جت تا عرض ۱۰ درجه شمالی به سمت جنوب منتقل می‌شود)، اما غالباً نفوذ ناوه عرض‌های میانی به همراه تقویت جت جنوب‌حاره بر روی منطقه موجب تشکیل، تکوین و گسترش کم‌فشارهای منطقه دریای سرخ می‌گردد (مفیدی، ۱۳۸۲). مفیدی و زرین (۱۳۸۴ الف) با بررسی ۱۸ توفان با منشا سودانی نشان دادند پشته‌ای بر روی نیمه غربی مدیترانه و غرب اروپا به همراه ناوه عمیقی بر شرق مدیترانه (که تا دریای سرخ میانی نفوذ

۱. downshear-propagating

۲. upshear-propagating

نموده)، همراه با پشته‌ای بر جنوب شرق ایران از مولفه‌های اصلی تراز ۵۰۰ ه.پ برای گسترش کم‌فشار سودانی هستند، که به دنبال نفوذ تاوه قطبی پوش سپهری به وردسپهر شکل گرفته است. همچنین نتیجه‌گیری نمودند موقعیت هسته جت جنب حاره در خاورمیانه و امتداد محور آن در ترازهای فوقانی وردسپهر ضمن کنترل الگوی گردش تراز میانی، مسیرهای ورود کم‌فشارهای سودانی به ایران را کنترل می‌کند. شکل‌گیری و تقویت پرفشار در حد فاصل شرق عربستان تا بخش‌های میانی دریای عرب نیز با تزریق هوای گرم و مرطوب دریای عرب به منطقه برای رخداد این بارش‌ها نقش مهمی ایفا می‌کند (رضیی و همکاران، ۱۳۸۸؛ رفعتی و همکاران، ۱۳۹۳). رفعتی و همکاران (۱۳۹۵) تاثیر رودبادهای سطح پایین (LLJ) در شکل‌گیری سامانه‌های همرفتی میان‌مقیاس در جنوب غرب ایران را بررسی نمودند. نتایج این مطالعه نشان داد عمده سامانه‌های همرفتی میان‌مقیاس (بیش از ۸۰٪) در شرایطی تشکیل شدند که LLJ در منطقه حضور داشته و هوای گرم و مرطوب عرض‌های پایین‌تر (دریای عرب و سرخ) را به منطقه مورد مطالعه تزریق و همگرایی سطح پایین را تشدید کرده است.

بر اساس نتایج مطالعات پیشین می‌توان ادعا نمود سامانه‌های سودانی در بسیاری موارد موجب شکل‌گیری سامانه‌های همرفتی میان‌مقیاس به ویژه در جنوب غرب ایران هستند. با وجود این که مطالعات بسیاری تا کنون در ایران بر روی این سامانه‌ها و چگونگی شکل‌گیری آن‌ها انجام شده است اما نقش برخی از مولفه‌های جوی شکل‌گیری و تشدید آن‌ها مثل چینش عمودی باد، رودبادهای سطوح بالا و پایین کم‌تر مورد توجه بوده است. بنابراین هدف از انجام این مطالعه این است که در کنار بررسی عوامل شناخته شده پدیدآورنده‌ی شکل‌گیری این سامانه‌ها، به نقش این عوامل نیز پرداخته شود، تا راهگشای مطالعات بیش‌تری در این زمینه باشد. برای این منظور سیل‌های روزهای ۴ و ۵ فروردین ۹۸ که به لحاظ شدت و فراگیری در دهه‌های گذشته کم‌تر سابقه داشته است به عنوان نمونه جهت انجام این مطالعه انتخاب شده است.

### داده و روش کار

با توجه به شکل (۱) بیشینه بارش با مقداری بیش از ۱۱۰ میلی‌متر در روزهای ۲۴ و ۲۵ مارس ۲۰۱۹ (۴ و ۵ فروردین ۱۳۹۸) و در امتداد طول جغرافیایی ۵۰ تا ۵۳ درجه شرقی و عرض جغرافیایی ۲۹ تا ۳۲ درجه شمالی رخ داده است. بنابراین این دو روز به عنوان روزهای مطالعه انتخاب شدند. برای ردیابی و بررسی ویژگی‌های مکانی سامانه‌های همرفتی میان‌مقیاس در این مطالعه باند پنجره فرسرخ (۱۰/۸ میکرومتر) تصاویر متنوست نسل دوم (MSG) در روزهای ۲۴ و ۲۵ مارس ۲۰۱۹ (۴ و ۵ فروردین ۱۳۹۸)، با قدرت تفکیک مکانی ۳ کیلومتر و قدرت تفکیک زمانی ۱۵ دقیقه از سایت یومت‌ست<sup>۱</sup> استخراج شد. پس از واسنجی (رابطه‌ی ۱) و زمین‌مرجع کردن تصاویر، دمای درخشندگی محاسبه شد (رابطه‌ی ۲).

$$R = CAL\_offset + CAL\_slope * Count$$

رابطه‌ی (۱)

$$R: \text{رادیناس طیفی با واحد } (\text{cm}^{-1})^{-1} \text{sr}^{-1} \text{mW}$$

<sup>۱</sup> WWW.EUMETSAT.INT

CAL\_offset: افست ثابت بین مقدار پیکسل و رادیانس فیزیکی با واحد  $\text{mWm}^{-2}\text{sr}^{-1}(\text{cm}^{-1})^{-1}$

CAL\_slope: ضریب کالیبریشن خطی با واحد  $\text{mWm}^{-2}\text{sr}^{-1}(\text{cm}^{-1})^{-1}$

Count: مقدار پیکسل که بین ۰ و ۱۰۲۳ متغیر است

## رابطه‌ی (۲)

$$T_b = \left[ C_2 v_c / \log \left( \frac{C_1 v_c^3}{R} + 1 \right) - B \right] / A$$

$C_1$ :  $1/19104 \times 10^{-5} \text{ mW m}^{-2} \text{sr}^{-1} (\text{cm}^{-1})^{-4}$

$C_2$ :  $1/43877 \text{ K} (\text{cm}^{-1})^{-1}$

$v_c$ : طول موج مرکزی باند  $930/659$

$A$  و  $B$ : ضرایب ثابت که برای باند پنجره مادون قرمز  $10/8$  میکرومتر به ترتیب برابرند با  $0/9983$  و  $0/627$

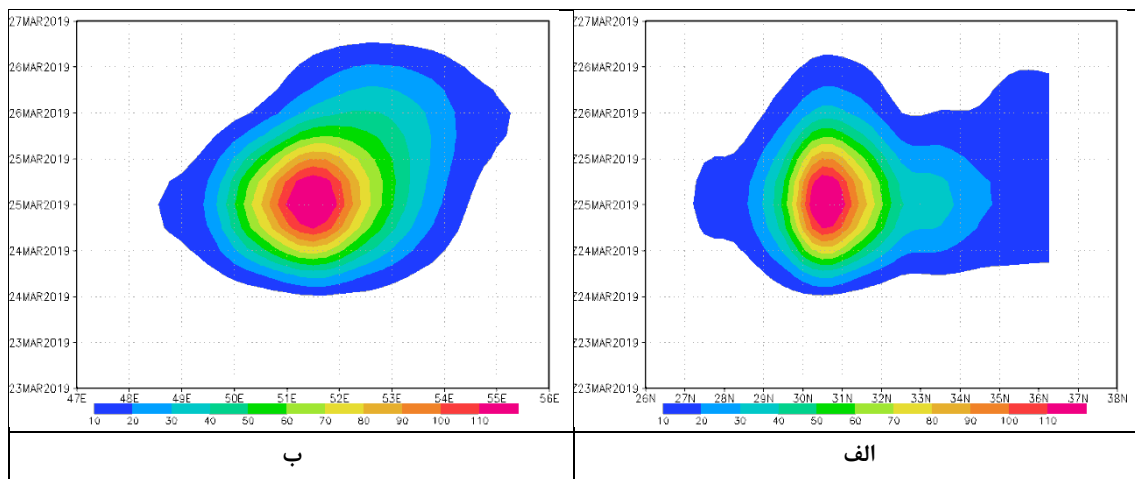
انتخاب دقیق آستانه دما برای شناسایی سامانه‌های همرفتی تا اندازه‌ای اختیاری است و به قدرت تفکیک مکانی و طول موج داده‌های مورد استفاده بستگی دارد (Futyan and Del Genio, ۲۰۰۷). برای شناسایی ابرهای مرتبط با سامانه‌ی همرفتی، از آستانه‌ی دمایی (TIR) در دامنه ۲۴۰ تا ۲۵۸ درجه کلونین (Maddox, ۱۹۸۰; Machado et. Al., ۱۹۹۸; Miller and Fritsch, ۱۹۹۱; Mapes and Houze, ۱۹۹۳; Laing and Fritsch, ۱۹۹۳; Llasat et al., ۱۹۹۹; Tadesse and Anagnostou, ۲۰۰۹, ۲۰۱۰) و برای شناسایی ابرهای همرفتی فعال از آستانه‌ی دمایی در دامنه ۲۰۸ تا ۲۲۱ درجه کلونین استفاده شده است (Maddox, ۱۹۸۰; Chen et. Al., ۱۹۹۶; Machado et. Al., ۱۹۹۸; Augusto et al., ۲۰۰۳; Viana et al., ۲۰۰۹; Thomas et al., ۲۰۱۰). گروه‌هایی از چنین پیکسل‌هایی ممکن است شامل ابرهای پوشنی‌دیس هم باشند، که احتمالاً آن‌ها نیز بارش‌های سنگینی تولید خواهند کرد. مچادو و همکاران (Machado et al., ۱۹۹۲) نشان دادند که توزیع اندازه و آماره‌های حاصل از آستانه‌های ۲۰۷ یا ۲۱۸ به ویژه برای سامانه‌های همرفتی بزرگ‌تر، خیلی متفاوت نیستند. بنابراین در این مطالعه از آستانه ۲۱۸ درجه کلونین بهره برده شد. در مورد معیار حداقل طول یا مساحت در تعریف سامانه‌های همرفتی میان‌مقیاس، در بین محققین توافقی وجود ندارد و این معیار بیش‌تر بر اساس ویژگی‌های منطقه‌ای و آستانه‌ی دمای انتخاب شده تعیین می‌شود. در مطالعات پیشین از آستانه‌هایی برابر ۱۰ هزار کیلومتر مربع (Morel and Senesi, ۲۰۰۲) تا آستانه‌هایی برابر ۵۰ هزار کیلومتر مربع (Maddox, ۱۹۸۰) و صد هزار کیلومتر مربع نیز (Fritsch et al, ۱۹۸۶; Maddox et al., ۱۹۷۹) به کار گرفته شده است. در این مطالعه بنا به مطالعه حجازی‌زاده و همکاران (۱۳۹۳) از آستانه ۱۰ هزار کیلومتر مربع استفاده شد. به عبارت دیگر سامانه‌ای به عنوان MCSs شناسایی شد که در مرحله‌ی از زندگی مساحتی بیش از ۱۰ هزار کیلومتر مربع داشته است و طول عمر آن حداقل ۳ ساعت بوده است. جهت بررسی پراکندگی بارش تولید شده توسط این سامانه‌ها داده‌های بارش روزانه پایگاه GPCP به کار گرفته شد. مطالعات انجام شده نشان‌دهنده‌ی دقت بالای مقادیر بارش برآورد شده این پایگاه است (دارند و زند کریمی، ۱۳۹۵).

همچنین برای درک شرایط جوی رخداد سامانه‌های همرفتی میان‌مقیاس در روزهای مطالعه، نخست داده‌های ارتفاع ژئوپتانسیل، مولفه‌های مداری و نصف‌النهاری باد، دمای پتانسیل، رطوبت نسبی، سرعت قائم (اومگا) و CAPE از پایگاه داده ECMWF با تفکیک مکانی  $0/125$  درجه طول و عرض جغرافیایی استخراج شدند و سپس نقشه‌های ارتفاع ژئوپتانسیل، جریان باد، رودبادهای سطح پایین و سطح بالا، دمای پتانسیل، رطوبت نسبی و وزش رطوبت، سرعت قائم و

CAPE و همچنین نمودار هوفمولر رطوبت نسبی و سرعت قایم و نمودار هودوگراف ترسیم و تفسیر شدند. در این مطالعه الگوی فشار، جهت و سرعت باد در دو سطح ۸۵۰ و ۳۰۰ ه.پ مورد بررسی قرار می‌گیرند. به دلیل اهمیت رودباد سطح بالا در تقویت همرفت عمیق بررسی شرایط سطح ۳۰۰ ه.پ. در این مطالعه مورد توجه قرار گرفته است. همچنین با توجه به این که سطح میانی (۵۰۰ ه.پ.) در مطالعات بسیاری مورد توجه بوده است، در این مطالعه از بررسی شرایط این سطح صرف نظر شد.

برای محاسبه فرارفت رطوبت از رابطه‌ی زیر در نرم‌افزار گردس استفاده شد. در این رابطه  $qadv$  وزش رطوبت بر حسب گرم بر کیلوگرم در ثانیه و  $u$ ،  $q$  و  $v$  به ترتیب عبارتند از رطوبت ویژه، باد مداری و باد نصف‌النهاری هستند. تغییرات جزئی با استفاده از تابع  $cdiff$  محاسبه شد (قویدل رحیمی، ۱۳۹۱).

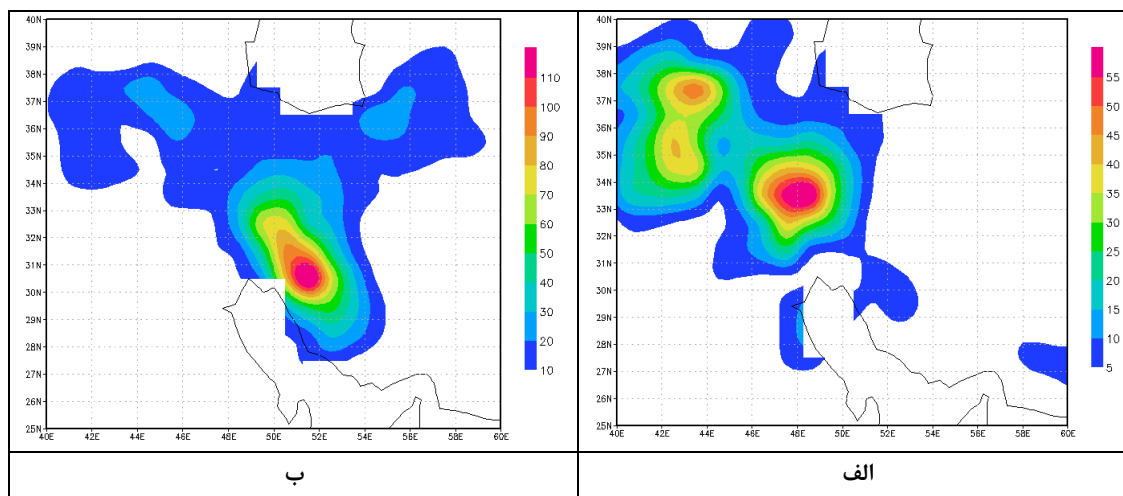
$$qadv = -1 * ((u * dqx) / (\cos(lat * \pi / 180) * dx) + v * dqy / dy) / 6.37e6$$



شکل ۱. مقادیر بارش در روزهای ۲۳ تا ۲۷ مارس ۲۰۱۹ در امتداد الف) طول جغرافیایی ۵۱/۵ درجه شرقی و عرض‌های ۲۶ تا ۲۸ درجه شمالی ب) عرض ۳۱/۵ درجه شمالی و طول‌های ۴۷ تا ۵۶ شرقی

### شرح و تفسیر نتایج

در روز ۲۴ مارس بیشینه بارش در غرب کشور با مقداری بیش از ۵۵ میلی‌متر و بیشینه دومی نیز در همسایگان غربی ایران، ترکیه و عراق، با مقدار بیش از ۴۰ میلی‌متر مشاهده می‌شود. در روز ۲۵ مارس مرکز بیشینه بارش کمی به سمت جنوب شرق (استان کهگیلویه و بویراحمد و شمال استان فارس) جابه‌جا شده است و بیشینه بارش به بیش از ۱۱۰ میلی‌متر رسیده است که مقدار قابل توجهی است (شکل ۲).



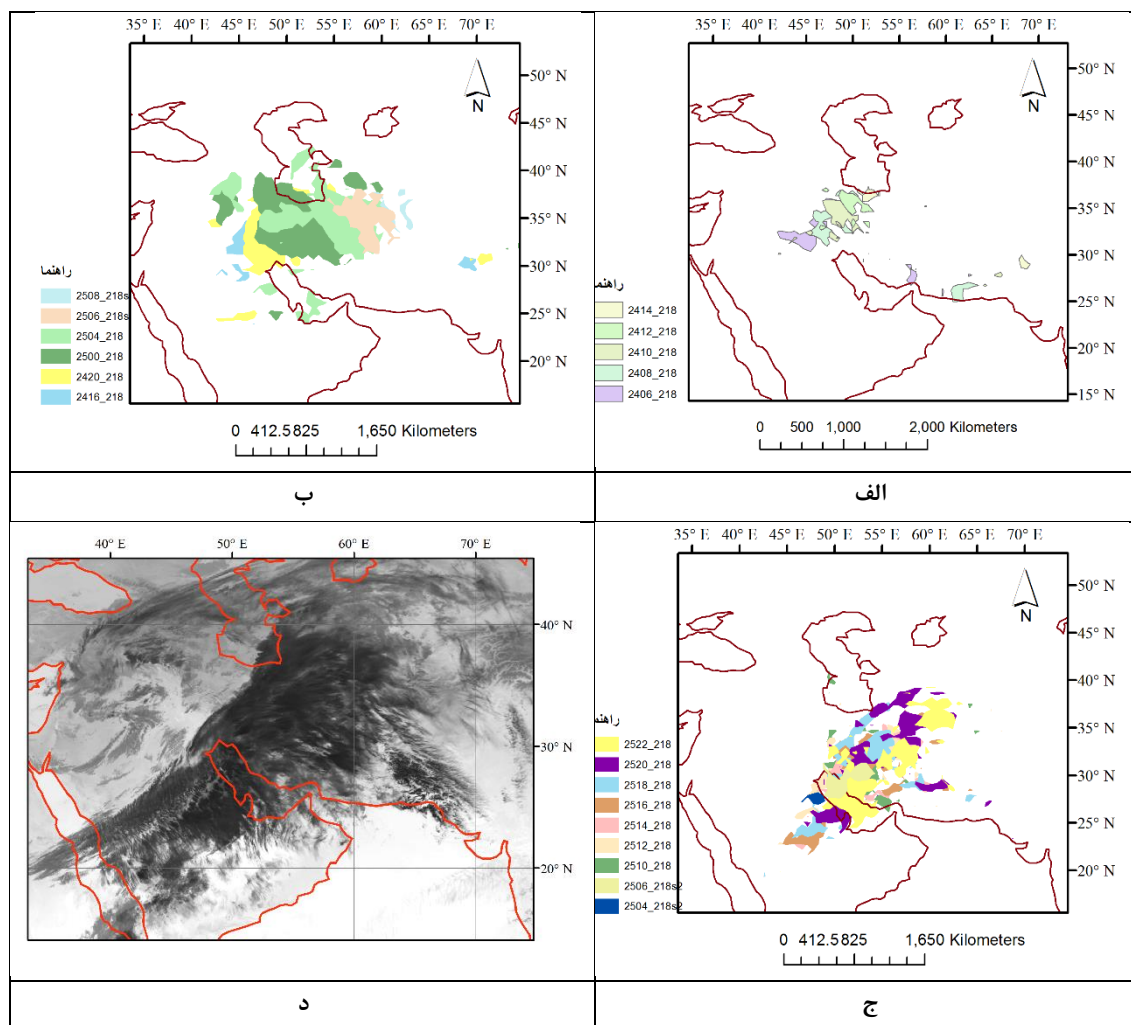
شکل ۲. پراکندگی مقادیر بارش در روزهای الف) ۲۴ مارس ب) ۲۵ مارس ۲۰۱۹

#### • ردیابی سامانه‌ها در تصاویر SEVIRI

چندین سامانه همرفتی میان‌مقیاس در روزهای مطالعه بخش‌های مختلفی از ایران را تحت تاثیر قرار دادند. همان‌طور که در شکل (۳ الف) نشان داده شده است، از ساعات اولیه صبح تا ساعت ۱۴ (۱۷:۳۰ به وقت محلی) روز ۲۴ مارس (۴ فروردین) سامانه‌ای غرب تا شمال ایران را تحت تاثیر قرار داد. هسته سرد این سامانه (بخشی با دمای کمتر از ۲۱۸ درجه کلونین) در شکل نشان داده شده است. همان‌طور که ملاحظه می‌شود وسعت هسته سرد این سامانه نسبت به سامانه‌های تشکیل شده در ساعات بعدی چندان گسترده نبود (بیشینه مساحت حدود ۷۳ هزار کیلومتر مربع) و جهت حرکت آن جنوب‌غربی-شمال‌شرقی بوده است.

سامانه دوم از ساعت ۱۶ UTC (۱۹:۳۰ به وقت محلی) در غرب ایران شکل گرفت و با حرکت به سمت شمال‌شرق - شرق تا ساعت ۸ (۱۱:۳۰ به وقت محلی) روز ۲۵ مارس تداوم داشته و تا شمال‌شرق ایران را تحت تاثیر قرار داده است. همان‌طور که ملاحظه می‌شود (شکل ۳ ب) وسعت هسته سرد این سامانه (دمای کمتر از ۲۱۸ درجه کلونین) نسبت به سامانه قبلی بسیار گسترده‌تر (بیشینه مساحت ۶۶۰ هزار کیلومتر مربع) بوده است.

سامانه سوم که در ساعت ۴ (۷:۳۰ به وقت محلی) روز ۲۵ مارس در سواحل جنوبی خلیج فارس در کشور عربستان سعودی تشکیل شد، ویژگی‌های کاملاً متفاوتی با دو سامانه پیشین نشان می‌دهد. این سامانه در طول عمر خود حرکت قابل توجهی نداشته و بنابراین شبه پایدار بوده است. اما در طول زمان به سمت شمال‌شرق در امتداد شمال‌شرقی - جنوب‌غربی گسترشی خطی یافته است و هسته سرد آن تا اندازه‌ای به سمت جنوب‌شرق تغییر مکان داده است (شکل ۳ ج). بیشینه وسعت این سامانه در حدود ۴۴۰ هزار کیلومتر مربع بوده است که قابل توجه می‌باشد.



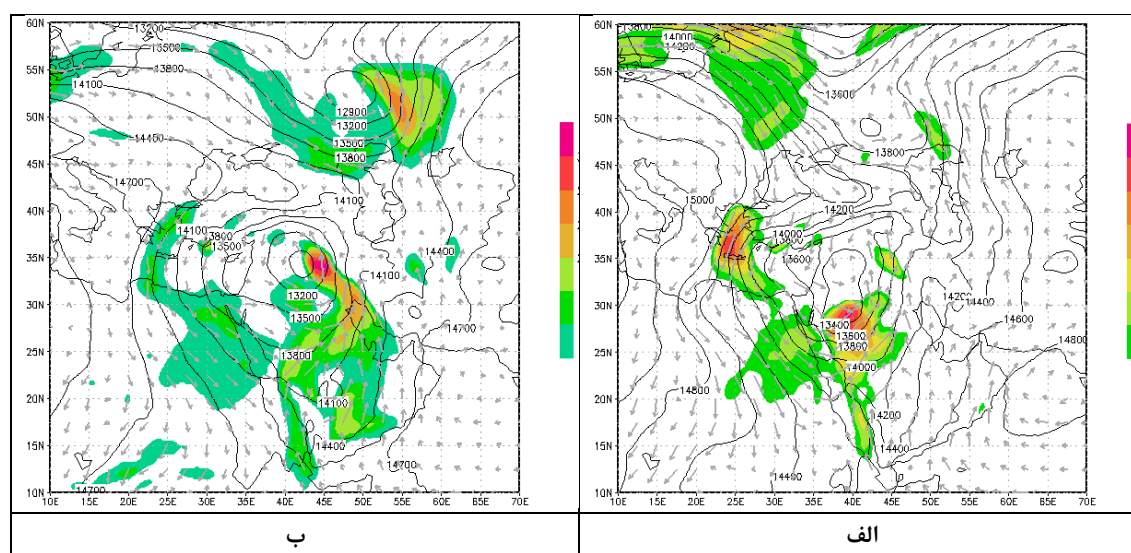
شکل ۳. محدوده‌ی پوشش و حرکت سامانه‌ی همرفتی میان‌مقیاس (در راهنما روز، ساعت و آستانه‌ی دمای درخشندگی به کار رفته نشان داده شده است. به عنوان نمونه ۲۱۸\_۲۵۱۲: ساعت ۱۲ (UTC) روز ۲۵ مارس، آستانه ۲۱۸ درجه کلونین (الف) نخست، روز ۲۴ مارس (ب) دوم، اواخر روز ۲۴ و اوایل روز ۲۵ مارس (ج) سوم، روز ۲۵ مارس (د) تصویر باند فروسرخ حرارتی از سامانه روز ۲۵ مارس

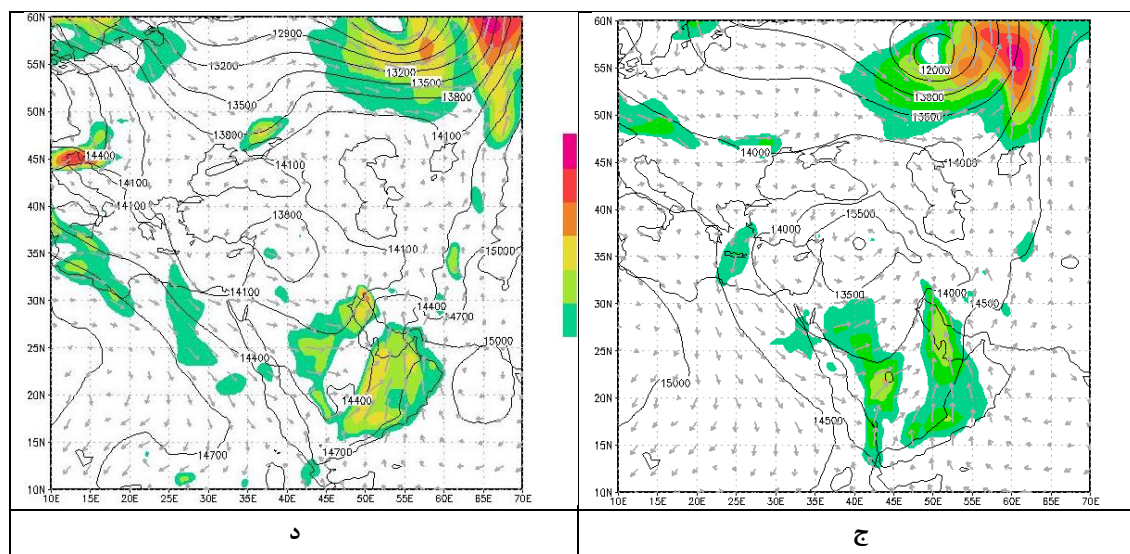
#### • شرایط جوی رخداد سامانه‌های میان‌مقیاس همرفتی

در روزهای ۲۴ و ۲۵ مارس در سطح ۸۵۰ ه.پ. پرفشار آזור در جنوب اروپا و شمال آفریقا با ریزش هوای سرد عرض‌های شمالی در حاشیه شرقی‌اش، غرب فرود شرق اروپا، اختلاف فشار قابل توجهی در منطقه ایجاد کرد. در ساعت صفر روز ۲۵ مارس بخش جنوبی فرود شرق اروپا از آن جدا شده و به شکل کم‌فشار قویی (کم‌ارتفاعی با کمینه‌ای کم‌تر از ۱۲۹۰ متر) بین مدیترانه و ایران تا روز ۲۶ مارس مستقر شد. از سوی دیگر مرکز پرفشاری بر روی دریای عمان و عرب قرار گرفت که باعث تزریق هوای گرم و مرطوب در حاشیه غربی‌اش به منطقه (غرب ایران و شرق کم‌فشار) شد (شکل ۴). این چنین در ساعت صفر روز ۲۵ مارس، برخورد این جریانات شمال‌غربی با جریانات جنوبی-جنوب‌شرقی باعث فعال شدن منطقه همگرایی از مرکز دریای سرخ تا جنوب غرب ایران در امتداد شمال شرقی-جنوب غربی شد (شکل ۴ ب).

این شرایط در بیش‌تر الگوهای شناسایی شده منجر به رخداد سامانه‌های همرفتی میان‌مقیاس در مطالعه رفعتی و همکاران (۱۳۹۳) مشاهده شده است. اختلاف فشار ایجاد شده حاصل از این الگو، باعث شکل‌گیری رودباد سطح پایین (LLJ) نیز شد که منطقه همگرایی تا شرق سامانه کم‌فشار مدیترانه (با بیشینه سرعتی بیش از  $30 \text{ m/s}$  در ساعت صفر روز ۲۵ مارس) را پوشاند. همان‌طور که در بخش بعد نشان داده خواهد شد، این رودباد در تزریق سریع هوای گرم و مرطوب عرض‌های پایین به سامانه کم‌فشار شرق مدیترانه تاثیر بسزایی داشته است. انتقال هوای گرم و مرطوب توسط LLJ به شکل‌گیری و تداوم همرفت و آزادسازی گرمای نهان به تقویت همگرایی و طول عمر بیش‌تر سامانه‌های همرفتی منجر می‌شود. نتایج مطالعه رفعتی و همکاران (۱۳۹۵) نشان داد عمده سامانه‌های همرفتی میان‌مقیاس (بیش از ۸۰٪) در شرایطی تشکیل شدند که LLJ در منطقه حضور داشته است و میانگین اندازه و طول عمر بزرگ‌ترین و بادوام‌ترین سامانه‌های تشکیل شده در روزهای همراه با رخداد رودبادهای سطح پایین نسبت روزهای بدون رخداد آن با ۹۵٪ اطمینان بیش‌تر بوده است. بررسی رابطه بین سیستم همرفتی میان‌مقیاس و رودباد سطح پایین در آمریکای جنوبی نیز نشان داد، رودباد سطح پایین با انتقال گرما و رطوبت از حوضه آمازون به حوضه لاپلاتا (Marengo et al., ۲۰۰۴)، به توسعه و تداوم MCSs کمک می‌کند (Nicolini et al., ۲۰۰۲). این تاثیر به‌ویژه برای همرفت یا توفان‌های شبانه مهم است، چون دمای پتانسیل بالای فراهم شده توسط LLJ گرایش به صعود دارد. فرآیند مذکور منبعی از هوای ناپایدار فراهم می‌کند که علیرغم پایداری لایه مرزی، توفان می‌تواند تداوم یابد (Trier et al., ۲۰۰۶).

شرایط بیان شده طی ساعات بعد با کاهش تضاد حرارتی و اختلاف فشار به تدریج تغییر کرد و گسترش و قدرت رودباد سطح پایین، کم‌فشار مدیترانه و منطقه همگرایی دریای سرخ تضعیف شد. بر روی ایران منطقه‌ی تزریق هوای گرم و مرطوب به سمت شرق جابجا شد و این‌چنین سامانه و مرکز بارش حاصل از آن به سمت شرق حرکت کرد (شکل ۲ب).

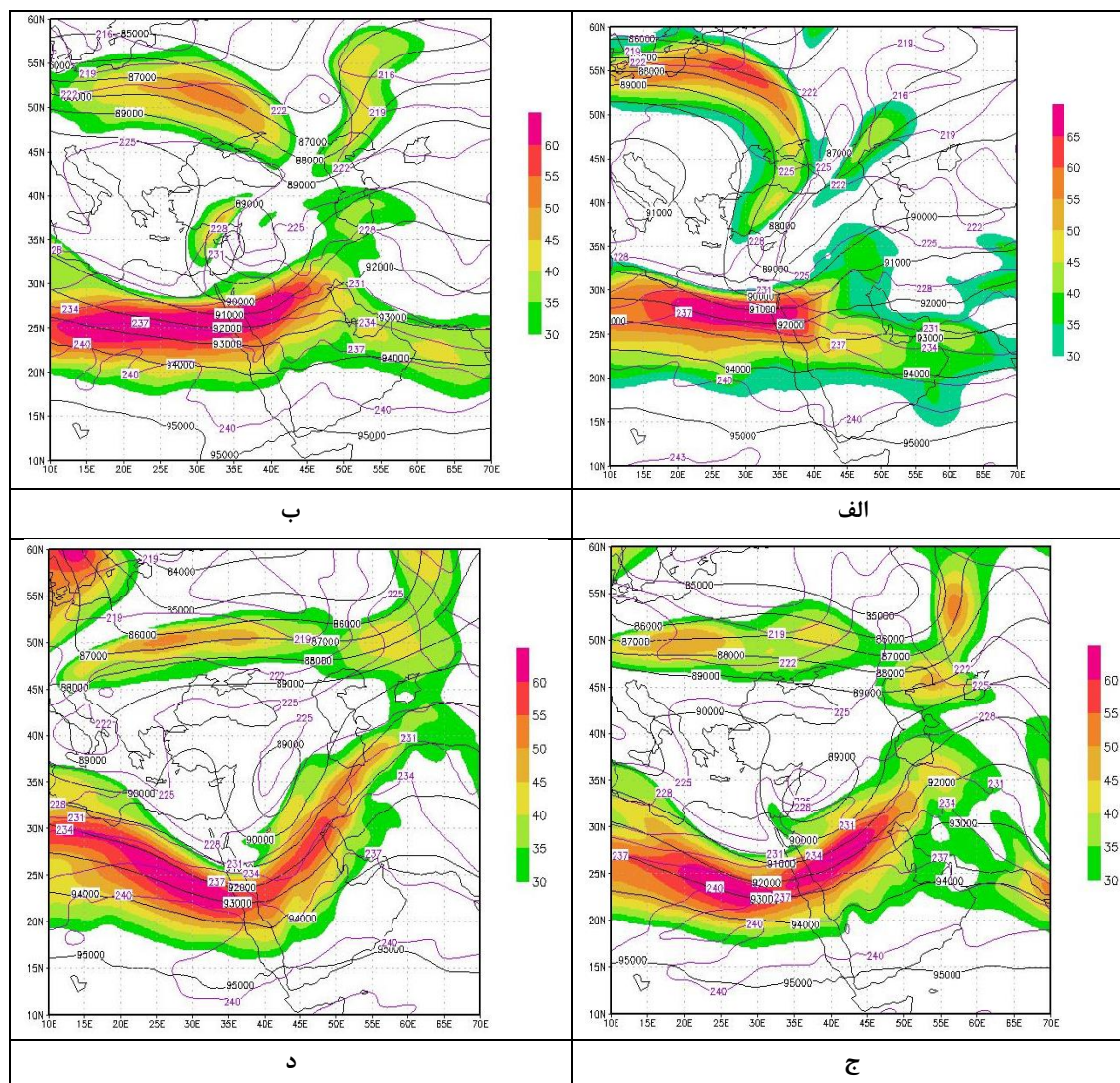




شکل ۴. نقشه‌ی ارتفاع ژئوپتانسیل (خطوط سیاه)، سرعت باد (سطوح رنگی) و جریان (پیکان خاکستری) سطح ۸۵۰ ه.پ. در (الف) ساعت ۱۲ روز ۲۴ مارس، (ب) ساعت صفر روز ۲۵ مارس، (ج) ساعت ۱۲ روز ۲۵ مارس و (د) ساعت صفر روز ۲۶ مارس

شکل (۵) ارتفاع ژئوپتانسیل و سرعت باد را در روزهای مطالعه در سطح ۳۰۰ ه.پ نشان می‌دهد. در ساعت ۱۲ روز ۲۴ مارس رودباد جنب‌حاره که از شمال آفریقا تا جنوب ایران را پوشانده، بیشینه‌ی سرعتی بیش از ۶۵ متر بر ثانیه داشت. همان‌طور که ملاحظه می‌شود از بخش‌های شمالی دریای سرخ تا غرب ایران در نیمه‌ی چپ خروجی هسته رودباد جنب‌حاره قرار گرفتند، بنابراین حرکت صعودی در این بخش از رودباد و این منطقه به عوامل دیگر برای تشدید جریان صعودی کمک کرده است. رودباد جبهه‌ی قطبی نیز در غرب فرود شرق اروپا با بیشینه‌ی سرعتی بیش از ۶۰ متر بر ثانیه در ریزش هوای سرد شمال اروپا به شرق مدیترانه تاثیر بسزایی داشت. در ساعت صفر روز ۲۵ مارس فرود شرق اروپا که در ساعات پیشین تا شرق مدیترانه کشیده شده بود از جریان اصلی بریده شده و سردچالی در شرق مدیترانه تشکیل شد. کم‌فشار قوی سطح پایین بین مدیترانه و ایران درست در زیر این سردچال مستقر بوده است. این سردچال همچنان تا روزهای بعد ماهیت خود را حفظ کرد و به سمت شمال‌شرق حرکت کرد. بنابراین حرکت صعودی شرق این سردچال طی مسیر خود غرب ایران را از اوایل روز ۲۵ تا روز ۲۶ مارس تحت تاثیر قرار داده و همچنین با حرکت صعودی نیمه چپ خروجی رودباد جنب‌حاره بر هم منطبق شده و یکدیگر را تقویت کردند.

تقریباً از اوایل روز ۲۵ مارس جریانات سطح ۳۰۰ ه.پ. در عرض‌های پایین‌تر نیز از حالت مداری خارج شده و فرودی عمیقی در منطقه خاورمیانه تشکیل دادند و به تبع آن هسته رودباد جنب‌حاره نیز از حالت مستقیم خارج شد و به صورت موجی شکل در امتداد فرود مستقر شد. بدین ترتیب غرب ایران در جلوی فرود این سطح قرار گرفت و حرکت صعودی جلوی فرود غرب ایران را تحت تاثیر قرار داد. شکل ابر در زمان گسترش سامانه همرفتی میان‌مقیاس سوم (از ساعت ۴ تا ۲۲ روز ۲۵ مارس) از الگوی جریان سطوح بالایی و ردسپهر پیروی کرده و به صورت نواری از جنوب‌غرب به شمال‌شرق کشیده شده است که با محور جت جنب‌حاره و موقعیت هسته آن مطابقت دارد. این ویژگی به گفته مفیدی و زرین (۱۳۸۴ الف) توسط بارت و اشتینکهل (۲۰۰۴) نیز به خوبی نشان داده شده است.

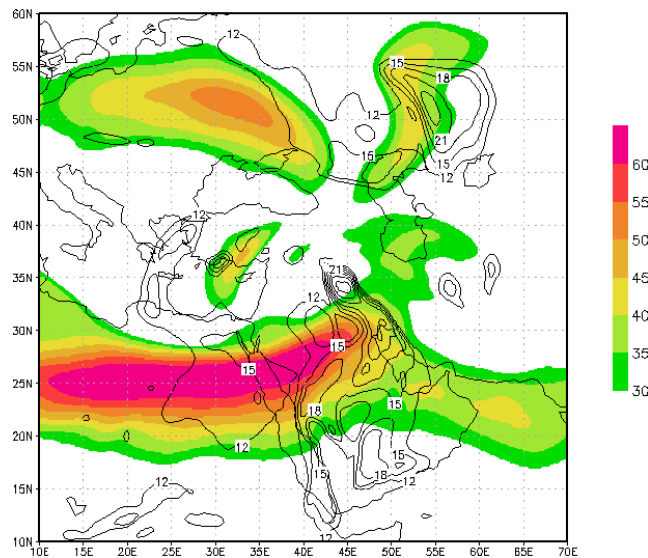


شکل ۵. نقشه‌ای ارتفاع ژئوپتانسیل (خطوط سیاه)، دما (خطوط بنفش) و سرعت باد (سطوح رنگی) سطح ۳۰۰ ه. پ. در الف)

ساعت ۱۲ روز ۲۴ مارس، ب) ساعت صفر روز ۲۵ مارس، ج) ساعت ۱۲ روز ۲۵ مارس و د) ساعت صفر روز ۲۶ مارس

موقعیت رودبادهای سطوح بالا و پایین در ارتباط با یکدیگر در شکل (۶) نشان داده شده است. جفت شدن رودباد سطح پایین و رودباد سطح بالا باعث تقویت همرفت در ناحیه خروجی LLL در بخش غربی ایران شد. یوسیلینی و جانسن چگونگی ارتباط رودباد سطوح بالا و پایین را در مطالعه خود تشریح نمودند (Uccellini, and Johnson, ۱۹۷۹). تقویت همرفت منجر به تشدید LLL می‌شود به طوری که انرژی لازم برای همرفت ناشی از همگرایی تقویت شده در سطوح پایین، برای مدت طولانی‌تری فراهم می‌شود و فرآیند همرفت، عمیق‌تر و متشکل‌تر می‌شود. در نتیجه با توسعه سامانه همرفتی میان‌مقیاس، جریانی واگرا در سطوح بالاتر حاکم شده و رودباد سطح بالا در پایین دست از طریق تولید یک سلول مستقیم در جنوب (قوی‌تر) و یک سلول فرعی در شمال (ضعیف‌تر) تقویت می‌شود (Zipser et al., ۲۰۰۴). سامانه‌های همرفتی میان‌مقیاس بین رودباد سطح بالا در شمال و رودباد سطح پایین در جنوب مشاهده می‌شوند (Lee et al., ۱۹۹۸). بنابراین در روزهای رخداد سامانه‌های همرفتی میان‌مقیاس و سیل‌های مرتبط با آن، تقویت جت جنب‌حاره

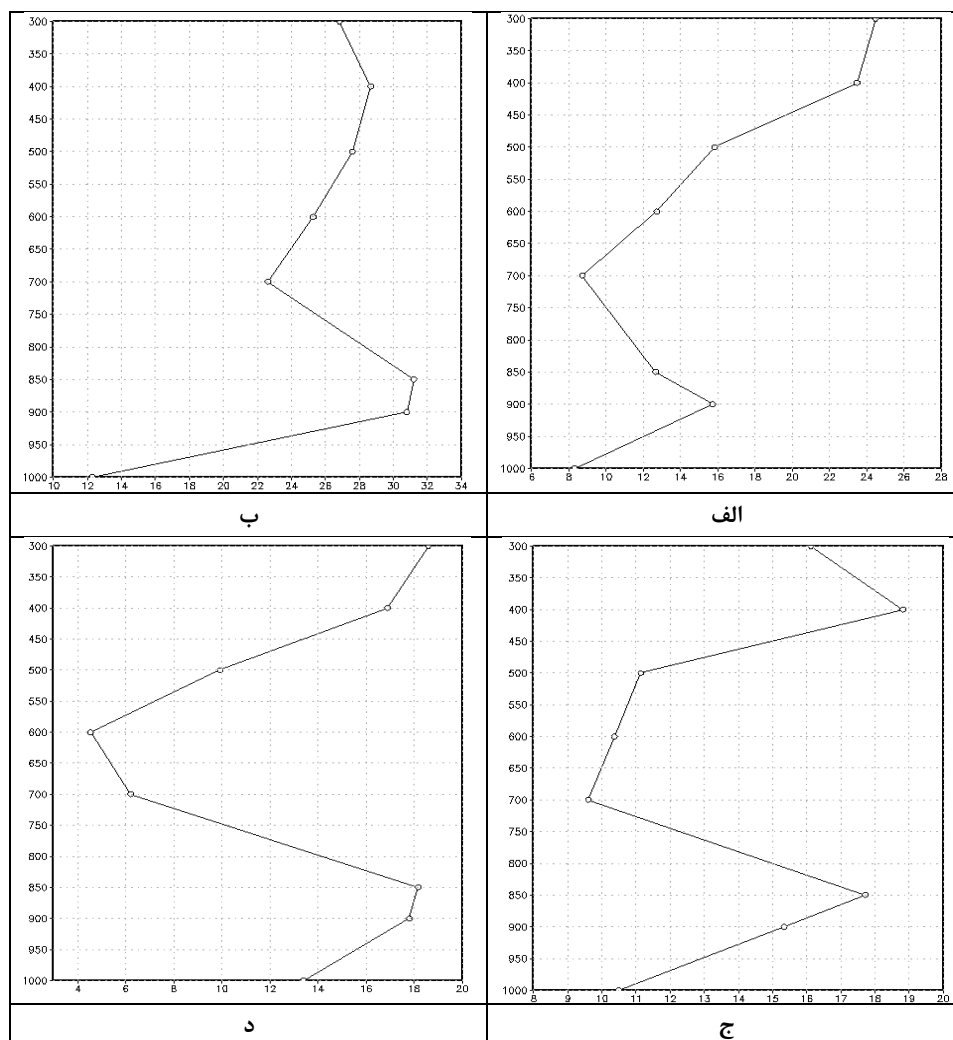
مطابق با نظر مفیدی (۱۳۸۲)، در منطقه دریای سرخ به دو شکل رخ داده است: الف) انتقال هوای گرم و مرطوب از دریای عرب و اقیانوس هند به طور مستقیم به آفریقای حاره‌ای و فرآیندهای همرفتی متعاقب آن که در نهایت تقویت رودباد جنب‌حاره را در جانب شمالی سلول هدلی موجب شده است. ب) نفوذ ناوه عرض‌های میانی به شرق مدیترانه که موجب افزایش شیب فشار بر روی منطقه شد. اما در روزهای مطالعه حالت ایده‌آلی که بنا به گفته مفیدی (۱۳۸۲)، به نقل از (Whitney, ۱۹۷۷) رخ می‌دهد و آن شرایطی است که جت قطبی (۳۰۰ میلی‌باری) در جلوی ناوه ترازهای میانی به منطقه شرق مدیترانه وارد شده و با جت جنب‌حاره‌ای (تراز ۲۵۰ میلی‌باری) اصطلاحاً یکی شود، رخ نداده است.



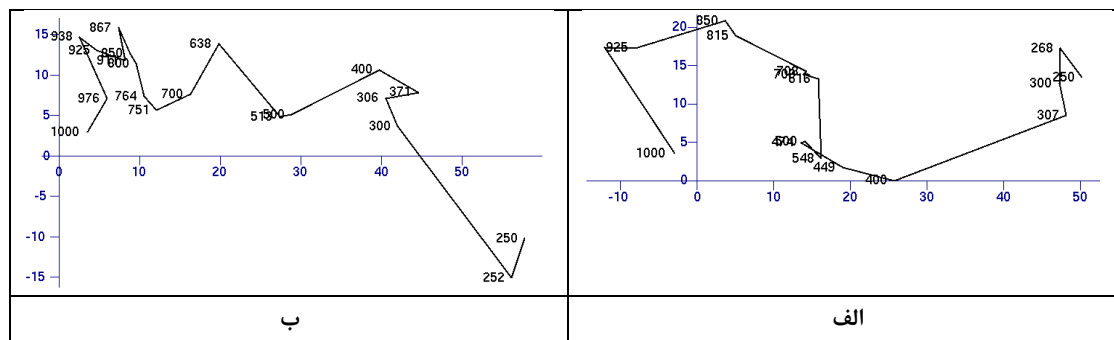
شکل ۶. نقشه سرعت باد سطح ۳۰۰ ه.پ. (سطوح رنگی)، و سطح ۸۵۰ ه.پ. (خطوط سیاه) در ساعت صفر روز ۲۵ مارس

بررسی نیمرخ سرعت باد در نقاطی با بیشینه سرعت باد (LLJ) در سطح ۸۵۰ ه.پ. نشان داده است، اختلاف بین بیشینه سرعت باد در سطوح پایین (۸۵۰ یا ۹۰۰ ه.پ.) و کمینه سرعت باد در سطوح میانی (۷۰۰ یا ۶۰۰ ه.پ.) بیش از ۷ m/s و در برخی موارد به بیش از ۱۰ m/s رسید که قابل توجه است (شکل ۷). همچنین هودوگراف دو ایستگاه جو بالا در امتداد منطقه همگرایی دریای سرخ (جده در ساحل شرقی دریای سرخ و دمام در ساحل جنوبی خلیج فارس) در شکل ۸) نشان داده شده است. همان‌طور که ملاحظه می‌شود، چینش عمودی باد قابل توجه بوده که به شکل‌گیری سلول‌های همرفتی جدید در پایین‌دست آن منجر شد. این فرایند نتیجه هم‌کنش ناپایداری ایجاد شده توسط جبهه سرد تشکیل شده در سلول همرفتی پیشین و ناپایداری ایجاد شده توسط چینش عمودی باد است که هر دو در یک محدوده به حرکت صعودی منجر شده و یکدیگر را تقویت می‌کنند (شکل ۹). طی این رویداد در هر دو ایستگاه دمام و جده بزرگی چینش عمودی باد تا حدود ۶ کیلومتری از سطح زمین به بیش از  $8 \times 10^{-3} \text{ s}^{-1}$  رسید، که مقدار قابل ملاحظه‌ای است و می‌تواند به رخداد توفان‌های چند سلولی یا ابرسلولی منجر شود (Weisman and Klemp, ۱۹۸۶). چرا که جریانات صعودی حاصل از چینش عمودی باد با رسیدن به جریانات خروجی سلول‌های همرفتی موجود و یا خطوط همگرایی می‌توانند همرفت را در فواصل زیادی از منشا خود، آغاز کنند (Carbone et al., ۱۹۹۰). هانتریزر و همکاران (Huntrieser et al., ۱۹۹۷) نشان دادند در روزهای رخداد همرفت عمیق در سوییس، بردار چینش عمودی باد نسبت به ارتفاع در جهت

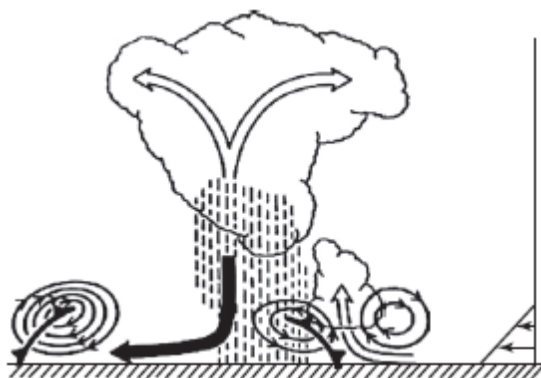
عقره ساعت چرخش دارد و با رودباد سطح پایین جنوب‌غربی در سطح ۷۰۰ ه.پ. همراه است. چرخش بردار چینش عمودی باد در جهت عقره در هر دو ایستگاه دمام و جده در سطوح زیر ۴۵۰ ه.پ. مشهود است (شکل ۸).



شکل ۷. نیمرخ سرعت باد در سطوح مختلف جو الف) ساعت ۱۸ روز ۲۴ مارس در عرض جغرافیایی ۱۸ درجه شمالی و طول جغرافیایی ۴۹ درجه شرقی ب) ساعت صفر روز ۲۵ مارس در عرض جغرافیایی ۳۴ درجه شمالی و طول جغرافیایی ۴۵ درجه شرقی ج) ساعت ۶ روز ۲۵ مارس در عرض جغرافیایی ۱۸ درجه شمالی و طول جغرافیایی ۴۸ درجه شرقی و د) ساعت ۱۲ روز ۲۵ مارس در عرض جغرافیایی ۱۸ درجه شمالی و طول جغرافیایی ۵۲ درجه شرقی

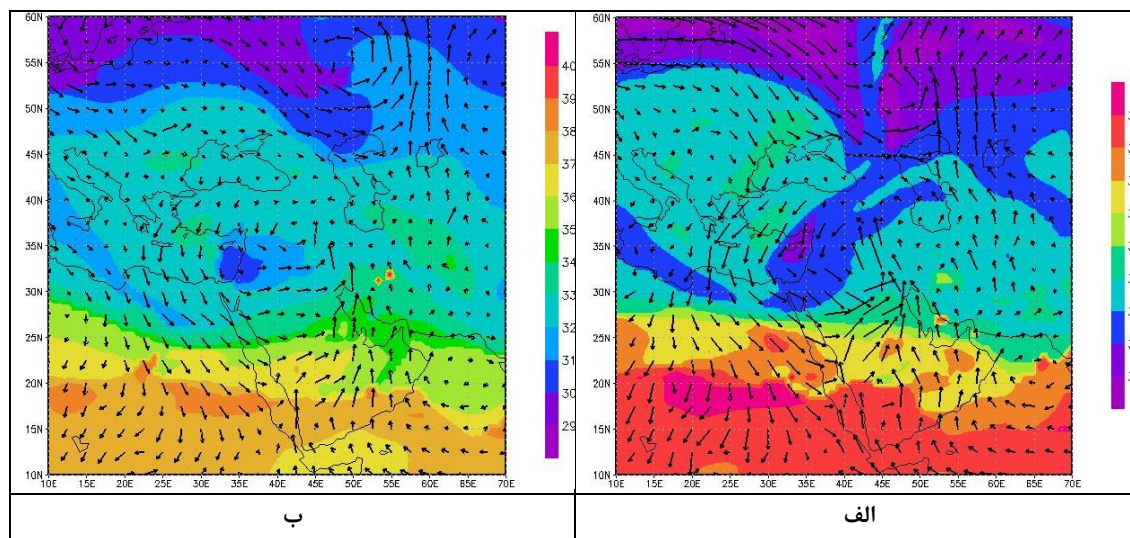


شکل ۸. هودوگراف ساعت صفر روز ۲۵ مارس در ایستگاه جو بالای الف (دام ب) جد



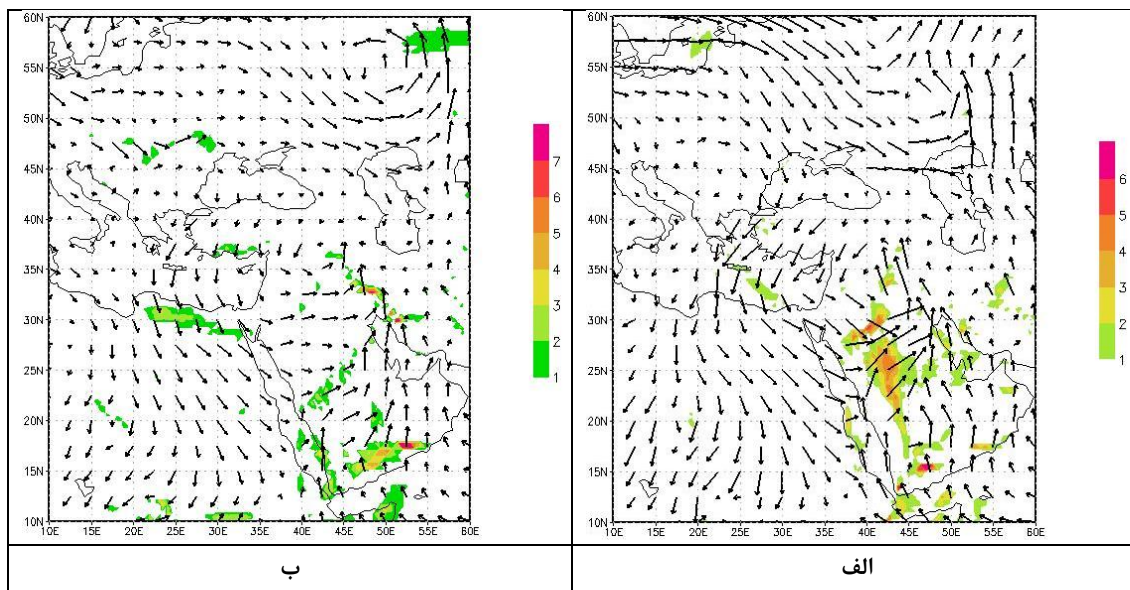
شکل ۹. طرحی شماتیک از چگونگی تقویت و هم‌کنش حرکت صعودی ناشی از چینش عمودی باد و جبهه سرد تولید شده از جریان خروجی (هوای سرد) سلول همرفتی اولیه (Weisman, ۲۰۰۳)

همان‌طور که پیش از این نیز بیان شد در روز قبل رخداد سیل ریزش هوای سرد عرض‌های بالا (شمال اروپا) به شرق دریای مدیترانه باعث افزایش شدید اختلاف فشار در این منطقه شد، به طوری که اختلاف دمای منطقه کمینه‌ی دمای پتانسیل در شرق مدیترانه با محیطش در حدود ۳۰ درجه کلون بوده است (شکل ۱۰). همین اختلاف دما و در نتیجه اختلاف فشار باعث شکل‌گیری رودباد سطح پایین شده که در منطقه همگرایی دریای سرخ به شدت در انتقال هوای گرم و مرطوب به غرب ایران موثر بوده است. در نتیجه در ساعات اوج فعالیت همرفتی در مرکز ایران، اختلاف دمای منطقه بیشینه‌ی دمای پتانسیل (بیش از ۳۷۰ درجه کلون) با محیط اطرافش در حدود ۳۰ درجه کلون بوده که برای شکل‌گیری توفان همرفتی نقش موثری ایفا کرده است.



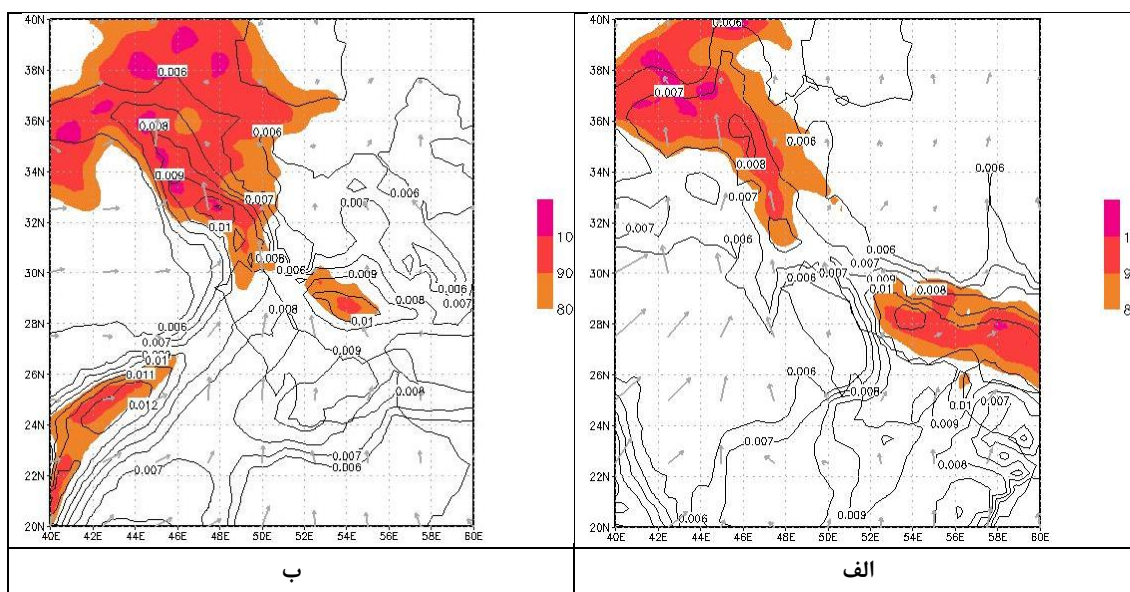
شکل ۱۰. نقشه‌ی دمای پتانسیل و سرعت و جهت باد الف) ساعت ۱۸ روز ۲۴ مارس ب) ساعت ۶ روز ۲۵ مارس

با توجه به نقشه وزش رطوبت در ساعات فعالیت سامانه‌های همرفتی میان‌مقیاس (شکل ۱۱)، فعالیت رودباد سطح پایین از روز قبل رخداد بارش سنگین، رطوبت قابل توجهی به منطقه تزریق کرده است. وزش رطوبت در ساعت ۱۸ روز ۲۴ مارس بیشینه‌ای را بر روی عربستان تا منطقه‌ی بین کشور ایران و دریای مدیترانه ایجاد کرد، که با گذشت زمان به صورت تدریجی با جابجایی منطقه همگرایی دریای سرخ و رودباد سطح پایین به سمت شرق، منطقه‌ی بیشینه وزش رطوبت نیز به سمت ایران حرکت کرد. این مرکز در روز ۲۵ مارس به جنوب‌غرب و غرب ایران جابه‌جا شد و بدین ترتیب منطقه‌ی بیشینه فعالیت همرفتی را نیز به سمت شرق هدایت کرد. با نگاهی به شکل (۲) مشخص می‌شود محل بیشینه رخداد بارش با محل تزریق هوای گرم و مرطوب در سطح پایین مطابقت دارد. در روز ۲۵ مارس مرکز بیشینه بارش پیرو محل تزریق هوای گرم و مرطوب کمی به سمت جنوب‌شرق (استان کهگیلویه و بویراحمد و شمال استان فارس) جابه‌جا شد. وزش رطوبت و به تبع آن فعالیت همرفتی تا ساعات پایانی روز ۲۵ مارس ادامه یافت. با توجه به این که سرعت حرکت سامانه‌های همرفتی میان‌مقیاس به وسیله‌ی مکان بیشینه‌ی همگرایی رطوبت سطح پایین نسبت به همرفت موجود تنظیم می‌شود (Corfidi, ۲۰۰۳)، الگوی جریان همدیدی نقش انکارناپذیری بر رفتار و ویژگی‌های این سامانه‌ها داشته است.



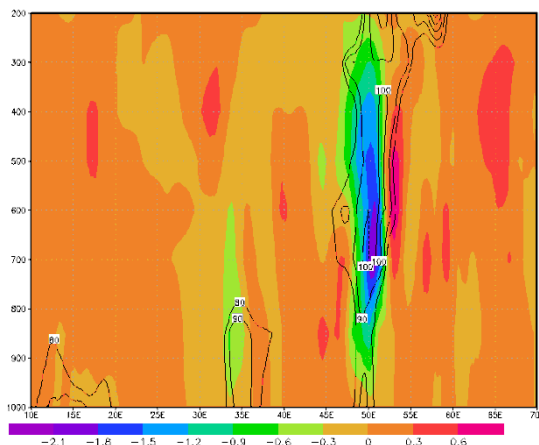
شکل ۱۱. نقشه وزش رطوبت بر حسب گرم بر کیلوگرم در ثانیه (در راهنمای نقشه به دلیل کوچک بودن مقادیر وزش اعداد در ۱۰ میلیون ضرب شده‌اند) (الف) ساعت ۱۸ روز ۲۴ مارس (ب) ساعت ۶ روز ۲۵ مارس

در نتیجه‌ی الگوی جریان مشاهده شده، بیشینه‌ی رطوبت نسبی (بیش از ۹۰٪) و رطوبت ویژه در امتداد منطقه همگرایی دریای سرخ، غرب و جنوب ایران شکل گرفت (شکل ۱۲). به طوری که رطوبت ویژه در جنوب ایران در منطقه نسبتاً گسترده‌ای به بیش از ۰/۰۱ کیلوگرم در کیلوگرم رسید و در روز رخداده سیل (روز ۲۵ مارس) در بخش‌هایی از جنوب غرب ایران از مقدار ۰/۰۱ کیلوگرم در کیلوگرم فراتر رفت. در روزهای بعد به تدریج با تغییر وزش جریانات، منطقه‌ی بیشینه رطوبت به سمت شرق جابجا شد.



شکل ۱۲. نقشه رطوبت نسبی بیش از ۸۰٪ (سطوح رنگی) و رطوبت ویژه (خطوط سیاه) (در الف) ساعت ۱۲ روز ۲۴ مارس (ب) ساعت ۶ روز ۲۵ مارس

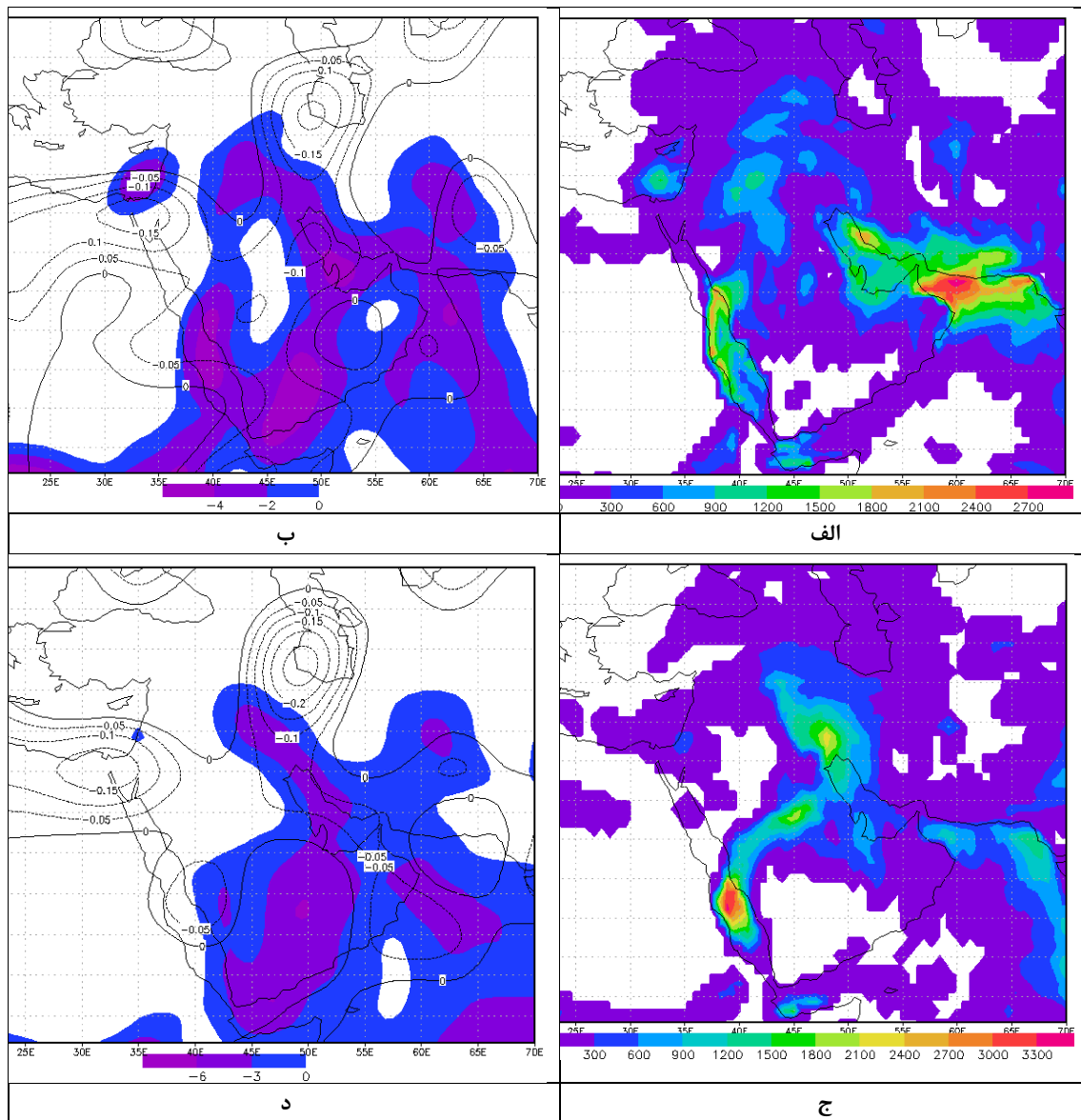
نمودار هوفمولر رطوبت نسبی (بیش‌تر از ۸۰٪) و اومگا برای عرض جغرافیایی ۳۰/۵ در ساعت ۶ روز ۲۵ مارس در امتداد طول جغرافیایی ۱۰ تا ۷۰ درجه شرقی در شکل (۱۳) نشان داده شده است. همان‌طور که ملاحظه می‌شود، رطوبت نسبی در منطقه رخداده بیشینه بارش (طول جغرافیایی حدود ۵۰ درجه شرقی) از سطح زمین تا سطوح بالای جو (۲۰۰ ه.پ) بیش از ۹۰٪ و حرکت جو صعودی است.



شکل ۱۳. نمودار هوفمولر رطوبت نسبی بیش از ۸۰٪ (خطوط سیاه) و اومگا (سطوح رنگی) در ساعت ۶ روز ۲۵ مارس در عرض جغرافیایی ۳۰/۵ درجه شمالی

در ساعات اوج فعالیت همرفتی در سطح ایران ناپایداری بر بخش گسترده‌ای از ایران به ویژه بخش‌های جنوبی و غربی ملاحظه می‌شود (شکل ۱۶). در ساعت ۱۸ روز ۲۴ مارس بیشینه‌ی CAPE در دریای عمان (بیش از  $2700 \text{ J kg}^{-1}$ ) و بیشینه‌های دوم و سوم (بیش از  $1800 \text{ J kg}^{-1}$ ) بر روی خلیج فارس و دریای سرخ دیده می‌شود. همچنین کمینه‌ی شاخص بالاروی در دریای سرخ و خلیج فارس قرار گرفت و به طور کلی مقدار این شاخص در جنوب و غرب ایران به کم‌تر از  $4 \text{ K}$  نیز رسید که نشان‌گر رخداد همرفت شدید است. در حالی که بیشینه‌ی سرعت عمودی صعودی (کمینه اومگا) در جنوب غرب دریای مازندران و جنوب شرق دریای مدیترانه واقع شد. در ساعات بعد نیز تقریباً شرایط مشابهی قابل مشاهده است. در ساعت ۰۶ روز ۲۵ مارس همان‌طور که ملاحظه می‌شود، منطقه بیشینه‌ی ناپایداری (بیشینه‌ی CAPE و کمینه‌ی شاخص بالاروی) که نسبت به ساعات پیش شدت گرفته تقریباً از نیمه جنوبی دریای سرخ در امتداد منطقه همگرایی به سمت غرب ایران کشیده شد و در غرب ایران شاخص CAPE به بیش از  $2100 \text{ J kg}^{-1}$  رسید (شکل ۱۴ ج).

ج.



شکل ۱۴. الف) نقشه CAPE و ب) شاخص بالاروی (سطوح رنگی) و اومگا (خطوط سیاه) در ساعت ۱۸ روز ۲۴ مارس (ج) و د) به ترتیب همانند الف و ب در ساعت ۶ روز ۲۶ مارس

### نتیجه گیری

به طور کلی نتایج این پژوهش نشان داد سه سامانه همرفتی میان مقیاس در روزهای ۴ و ۵ فروردین ۱۳۹۸ بخش‌های مختلفی از ایران را تحت تاثیر قرار دادند. بیشینه مساحت هسته سرد سامانه نخست حدود ۷۳ هزار کیلومتر مربع وسعت داشته و از غرب تا شمال ایران را پیموده است. سامانه دوم که از غرب تا شمال شرق ایران را تحت تاثیر قرار داده، بیشینه مساحتی در حدود ۶۶۰ هزار کیلومتر مربع داشته است. هسته سرد سامانه شبه پایدار سوم نیز با گسترشی خطی (شمال شرقی - جنوب غربی) و بیشینه مساحتی در حدود ۴۴۰ هزار کیلومتر مربع، به میزان کمی به سمت جنوب شرق حرکت کرده است.

شرایط همدیدی شکل‌گیری این سامانه‌ها همان الگوی رایج شکل‌گیری سامانه‌های سودانی و سامانه همرفتی میان‌مقیاس بوده است. در این الگو ریزش هوای سرد عرض‌های بالا توسط پرفشار آזור و تزریق هوای گرم و مرطوب توسط پرفشار روی دریای عمان و دریای عرب صورت گرفته که باعث فعال شدن منطقه همگرایی دریای سرخ به همراه سامانه‌ی مدیترانه‌ای شده است. این شرایط باعث شکل‌گیری منطقه‌ی کمینه‌ی دمای پتانسیل در شرق مدیترانه با اختلاف دما و فشار قابل توجه با محیط شده که نتیجه‌ی آن شکل‌گیری رودباد سطح پایین بوده است. این رودباد به شدت در انتقال هوای گرم و مرطوب به غرب ایران موثر بوده است. به طوری که در ساعات اوج فعالیت همرفتی در مرکز ایران، اختلاف دمای پتانسیلی در حدود ۳۰ درجه کلونین با محیط اطراف به وجود آورده که برای شکل‌گیری توفان همرفتی نقش موثری ایفا کرده است. انتقال هوای گرم و مرطوب توسط LLJ به شکل‌گیری و تداوم همرفت و آزادسازی گرمای نهان به تقویت همگرایی و طول عمر بیشتر سامانه‌های همرفتی منجر شده است. از سوی دیگر جفت شدن رودباد سطوح پایین و بالا، با تقویت سامانه‌ی همرفتی میان‌مقیاس در بخش غربی ایران و تقویت جریانی واگرا در سطوح بالاتر، رودباد سطح بالا را تقویت کرده است، که این نیز به نوبه خود به تقویت سامانه همرفتی منجر شده است. احتمالاً چینش عمودی قابل توجه باد نیز به شکل‌گیری سلول‌های همرفتی جدید در مناطقی دور نسبت به منشا شکل‌گیری اولیه منجر شد. در ساعات اوج فعالیت همرفتی ناپایداری بر بخش گسترده‌ای از ایران به ویژه بخش‌های جنوبی و غربی قابل ملاحظه بود و بیشینه‌ی آن از نیمه جنوبی دریای سرخ در امتداد منطقه همگرایی به سمت غرب ایران کشیده شد.

بنابراین مولفه‌های مختلف سامانه‌ی سودانی در شکل‌گیری، تداوم و توسعه سامانه‌های همرفتی میان‌مقیاس نقش مهمی دارند و به نظر می‌رسد رودباد سطح پایین، چینش عمودی باد و هم‌کنش آن با منطقه‌ی همگرایی دریای سرخ و جریان خروجی سلول‌های همرفت اولیه نقش بسیار موثری بر رخداد این پدیده داشته باشند. بدین گونه بررسی‌های دقیق‌تر این موضوع با کاربرد مدل‌های عددی میان‌مقیاس احتمالاً جنبه‌های ناشناخته‌ای از اقلیم ایران را مشخص خواهد نمود.

## منابع

- امیری، هدایت. ۱۳۷۸. بررسی سینوپتیکی بارش‌های سیل‌زا در حوضه آبریز روخانه زهره. پایان‌نامه کارشناسی ارشد جغرافیای طبیعی. دانشگاه شهید بهشتی.
- انصاری، سپهدار. ۱۳۸۲. بررسی سینوپتیکی سیستم‌های سیل‌زا در حوضه‌های آبریز منطقه کهگیلویه و بویراحمد. پایان‌نامه کارشناسی ارشد جغرافیای طبیعی. دانشگاه تربیت معلم.
- پرنده، اکرم. ۱۳۷۸. بررسی سینوپتیکی سیستم‌های سیل‌زا در حوضه آبریز رودخانه دالکی. پایان‌نامه کارشناسی ارشد جغرافیای طبیعی. دانشگاه تربیت مدرس.
- حجازی‌زاده، زهرا؛ مصطفی کریمی، پرویز ضیاییان و سمیه رفعتی. ۱۳۹۳. بررسی سامانه‌های همرفتی میان‌مقیاس با استفاده از تصاویر درخشندگی در جنوب‌غرب ایران. نشریه تحقیقات کاربردی علوم جغرافیایی، ۱۴ (۳۲): ۴۵-۶۹.
- حجتی‌زاده، رحیم. ۱۳۸۱. بررسی سینوپتیکی سیلاب رودهای دامنه غربی زاگرس (با تاکید بر حوضه‌های کرخه، کارون-دز). رساله‌ی دکترای جغرافیای طبیعی (آب و هواشناسی). دانشگاه اصفهان.

- دارند، محمد و سوما زندکریمی. ۱۳۹۵. ارزیابی دقت داده‌های بارش مرکز اقلیم‌شناسی بارش جهانی بر روی ایران. ژئوفیزیک / ایران، ۱۰ (۳): ۹۵-۱۱۳.
- رحیمی، داریوش؛ جواد خوشحال و تیمور علیزاده. ۱۳۸۹. تحلیل آماری-همدیدی بارش‌های سنگین مناطق خشک ایران (مطالعه‌ی موردی: استان کرمان). *جغرافیا و توسعه ناحیه‌ای*، ۱۴: ۵۱-۶۹.
- رضیئی، طیب؛ عباس مفیدی و آذر زرین. ۱۳۸۸. مراکز فعالیت و الگوهای گردش جو زمستانه تراز ۵۰۰ هکتوپاسکال روی خاورمیانه و ارتباط آن‌ها با بارش ایران. *فیزیک زمین و فضا*، ۳۵ (۱): ۱۲۱-۱۴۱.
- رفعتی، سمیه؛ زهرا حجازی‌زاده و مصطفی کریمی. ۱۳۹۳. تحلیل هم‌دیدی شرایط رخداد سامانه‌های همرفتی با بارش بیش از ۱۰ میلی‌متر در جنوب‌غرب ایران. *پژوهش‌های جغرافیای طبیعی*، ۴۶ (۲): ۱۳۷-۱۵۶.
- رفعتی، سمیه؛ امان‌اله فتح‌نیا و مصطفی کریمی. ۱۳۹۵. تاثیر رودبادهای سطح پایین در شکل‌گیری سامانه‌های همرفتی میان‌مقیاس در جنوب‌غرب ایران. *پژوهش‌های جغرافیای طبیعی*، ۴۸ (۱): ۶۹-۸۲.
- رئوفی‌فرد، محمود. ۱۳۷۶. *بررسی سینوپتیکی سیل در استان قم*. پایان‌نامه کارشناسی ارشد هواشناسی. دانشگاه آزاد اسلامی واحد تهران شمال.
- سبزی‌پور، علی‌اکبر. ۱۳۷۰. *بررسی سینوپتیکی سیستم‌های سیل‌زا در جنوب‌غرب ایران*. پایان‌نامه کارشناسی ارشد هواشناسی. موسسه ژئوفیزیک دانشگاه تهران.
- قوبدل رحیمی، یوسف. ۱۳۹۱. نگاشت و تفسیر سینوپتیک اقلیم با استفاده از نرم افزار Grads، چاپ دوم، انتشارات سپا دانش، تهران، ۲۰۸ ص.
- لشکری، حسن. ۱۳۷۵. *الگوی سینوپتیکی بارش‌های شدید در جنوب‌غرب ایران*. رساله‌ی دکتری جغرافیای طبیعی. دانشگاه تربیت مدرس.
- لشکری، حسن. ۱۳۸۲. مکانیسم تکوین، تقویت و توسعه مرکز کم‌فشار سودان و نقش آن بر روی بارش‌های جنوب و جنوب‌غرب ایران. *پژوهش‌های جغرافیایی*، (۴۶): ۱-۱۸.
- مفیدی، عباس. ۱۳۸۲. اقلیم‌شناسی سینوپتیکی بارش‌های سیل‌زا با منشا منطقه‌ی دریای سرخ در خاورمیانه. *فصلنامه تحقیقات جغرافیایی*، ۷۵: ۷۱-۹۳.
- مفیدی، عباس و آذر زرین. ۱۳۸۴ الف. بررسی سینوپتیکی تاثیر سامانه‌های کم‌فشار سودانی در وقوع بارش‌های سیل‌زا در ایران. *فصلنامه تحقیقات جغرافیایی*، ۷۷: ۱۱۳-۱۳۶.
- مفیدی، عباس و آذر زرین. ۱۳۸۴ ب. تحلیل سینوپتیکی ماهیت سامانه‌های کم‌فشار سودانی (مطالعه موردی؛ توفان دسامبر ۲۰۰۱). *فصلنامه جغرافیایی سرزمین*، ۶: ۲۴-۴۸.
- مولا، عباس. ۱۳۷۴. *بررسی سینوپتیکی-دینامیکی سیل کرمان در بهمن ۱۳۷۱*. پایان‌نامه کارشناسی ارشد هواشناسی. موسسه ژئوفیزیک دانشگاه تهران.
- نصیری، بهروز. ۱۳۷۸. *تحلیل الگوی سینوپتیکی و دینامیکی بارش‌ها در حوضه کرخه و دز*. رساله‌ی دکتری جغرافیای طبیعی. دانشگاه تربیت مدرس.

Augustine, J.A. and F. Caracena. ۱۹۹۴. Lower-tropospheric precursors to nocturnal MCS development over the central United States. *Weather and Forecasting*, 9: ۱۱۶-۱۳۰.

- Augusto, L.; T. Machado and H. Laurent. ۲۰۰۳. The convective system area expansion over Amazonia and its relationships with convective system life duration and high-level wind divergence. *Monthly Weather Review*, ۱۳۲: ۷۱۴-۷۲۵.
- Bluestein, H.B. and M.H. Jain. ۱۹۸۵. Formation of mesoscale lines of precipitation: severe squall lines in Oklahoma during the spring. *Journal of the Atmospheric Sciences*, ۴۲ (۱۶): ۱۷۱۱-۱۷۳۲.
- Bluestein, H.B.; G.T. Marx and M.H. Jain. ۱۹۸۷. Formation of mesoscale lines of precipitation: nonsevere squall lines in Oklahoma during the spring. *Monthly Weather Review*, ۱۱۵ (۱۱): ۲۷۱۹-۲۷۲۷.
- Carbone, R. E.; J. W. Conway, N. A. Crook and M. W. Moncrieff. ۱۹۹۰. The generation and propagation of a nocturnal squall line. Part I: Observations and implications for mesoscale predictability. *Monthly Weather Review*, ۱۱۸: ۲۵-۴۹.
- Chen, S. S.; R. A. Houze and B. E. Mapes. ۱۹۹۶. Multiscale variability of deep convection in relation to large-scale circulation in TOGACOARE. *Journal of the Atmospheric Sciences*, ۵۳: ۱۳۸۰-۱۴۰۹.
- Coniglio, M. C.; D. J. Stensrud and L. J. Wicker. ۲۰۰۶. Effects of upper-level shear on the structure and maintenance of strong quasi-linear mesoscale convective systems, *Journal of the Atmospheric Sciences*, ۶۳(۴): ۱۲۳۱-۱۲۵۲. doi:۱۰.۱۱۷۵/jas۳۶۸۱.۱.
- Coniglio, M.C.; H.E., Brooks, S.J. Weiss and S.F. Corfidi. ۲۰۰۷. Forecasting the maintenance of quasi-linear mesoscale convective systems. *Weather and Forecasting*, ۲۲ (۳): ۵۵۶-۵۷۰.
- Corfidi, S. F.; J. H. Merritt and J. M. Fritsch. ۱۹۹۶. Predicting the movement of mesoscale convective complexes. *Weather and Forecasting*, ۱۱: ۴۱-۴۶. doi:۱۰.۱۱۷۵/۱۵۲۰.۰۴۳۴(۱۹۹۶).۱۱.۰۰۴۱: PTMOMC.۲.۰.CO;۲.
- Corfidi, S. F. ۲۰۰۳. Cold Pools and MCS Propagation: Forecasting the Motion of Downwind-Developing MCSs, *Weather and Forecasting*, ۱۸: ۹۹۷-۱۰۱۷.
- Doswell, C. A., H. E. Brooks, and R. A. Maddox, ۱۹۹۶: Flash flood forecasting: An ingredients-based methodology. *Weather and Forecasting*, ۱۱: ۵۶۰-۵۸۱. doi:۱۰.۱۱۷۵/۱۵۲۰.۰۴۳۴(۱۹۹۶).۱۱.۰۵۶۰: FFFAIB.۲.۰.CO;۲.
- Fritsch, J.M.; R.J. Kane and C.R. Chelius. ۱۹۸۶. The contribution of mesoscale convective weather systems to the warm-season precipitation in the United States. *Journal of Applied Meteorology and Climatology*, ۲۵: ۱۳۳۳-۱۳۴۵.
- Futyan, J. M. and A. D. Del Genio. ۲۰۰۷. Deep Convective System Evolution over Africa and the Tropical Atlantic. *Journal of Climate*, ۲۰: ۵۰۴۱-۵۰۶۰. doi: ۱۰.۱۱۷۵/JCLI۴۲۹۷,۱
- Houze, R.A.J. ۲۰۰۴. Mesoscale convective systems. *Reviews of Geophysics*, ۴۲ (RG۴۰۰۳), ۱-۴۳.
- Houze, R.A.J.; B.F. Smull and P. Dodge. ۱۹۹۰. Mesoscale organization of springtime rainstorms in Oklahoma. *Monthly Weather Review*, ۱۱۸ (۳): ۶۱۳-۶۵۴.
- Huntrieser, H.; H.H. Schiesser, W. Schmid and A. Waldvogel. ۱۹۹۷. Comparison of traditional and newly developed thunderstorm indices for Switzerland. *Weather and Forecasting*, ۱۲: ۱۰۸-۱۲۵.
- Kim, H. W. and D. K. Lee. ۲۰۰۶. An observational study of mesoscale convective systems with heavy rainfall over the Korean Peninsula, *Weather and Forecasting*, ۲۱: ۱۲۵-۱۴۸.
- Laing, A.G. and J.M. Fritsch. ۱۹۹۳. Mesoscale convective complexes in Africa. *Monthly Weather Review*, ۱۲۱: ۲۲۵۴-۲۲۶۳.
- Laing, A. G. and J. M. Fritsch. ۲۰۰۰. The large-scale environments of the global populations of mesoscale convective complexes. *Monthly Weather Review*, ۱۲۸: ۲۷۵۶-۲۷۷۶.
- Lane, T.P. and M.W. Moncrieff. ۲۰۱۵. Long-lived mesoscale systems in a low-convective inhibition environment. Part I: upshear propagation. *Journal of the Atmospheric Sciences*, ۷۲ (۱۱): ۴۲۹۷-۴۳۱۸.
- Llasat, M. C.; C. Ramis and L. Lanza. ۱۹۹۹. Storm Tracking and Monitoring Using Objective Synoptic Diagnosis and Cluster Identification from Infrared Meteosat Imagery. *Meteorology and Atmospheric Physics*, ۷۱: ۱۳۹-۱۵۵

- Llasat, M.C.; R. Marcos, M. Turco, J. Gilabert and M. Llasat-Botija. ۲۰۱۶. Trends in flash flood events versus convective precipitation in the Mediterranean region: the case of Catalonia. *Journal of Hydrology*, ۵۴۱: ۲۴-۳۷.
- Machado, L.A.T.; M. Desbois and J. P. Duvel. ۱۹۹۲. Structural characteristics of deep convective systems over tropical Africa and Atlantic Ocean. *Monthly Weather Review*, ۱۲۰: ۳۹۲-۴۰۶.
- Machado, L.A.T.; W.B. Rossow, R.L. Guedes and A.W., Walker. ۱۹۹۸. Life cycle variations of Mesoscale Convective Systems over the Americas. *Monthly Weather Review*, ۱۲۶: ۱۶۳۰-۱۶۵۴.
- Maddox, R.A.; C.H. Chapell and L.R. Hoxit. ۱۹۷۹. Synoptic and meso-a scale aspects of flashflood events. *Bulletin of the American Meteorological Society*, ۶۰ (۲): ۱۱۵-۱۲۳.
- Maddox, R.A. ۱۹۸۰. Mesoscale convective complexes. *Bulletin of the American Meteorological Society*, ۶۱ (۱۱): ۱۳۷۴-۱۳۸۷.
- Maddox, R.A. ۱۹۸۳. Large-scale meteorological conditions associated with midlatitude, mesoscale convective complexes. *Monthly Weather Review*, ۱۱۱: ۱۴۷۵-۱۴۹۳.
- Mapes, B. E. and R.A.J. Houze. ۱۹۹۳. Cloud clusters and superclusters over the oceanic warm pool. *Monthly Weather Review*, ۱۲۱: ۱۳۹۸-۱۴۱۵.
- Marengo, J. A.; W. R. Soares, C. Saulo and M. Nicolini. ۲۰۰۴. Climatology of the low level jet east of the Andes as derived from the NCEP-NCAR reanalyzes, Characteristics and temporal variability. *Journal of Climate*, ۱۷: ۲۲۶۱-۲۲۸۰.
- Miller, D. and J.M. Fritsch. ۱۹۹۱. Mesoscale convective complexes in the Western Pacific region. *Monthly Weather Review*, ۱۱۹: ۲۹۷۸-۲۹۹۲.
- Moncrieff, M.W. and C.Liu. ۱۹۹۹. Convection Initiation by Density Currents: Role of Convergence, Shear, and Dynamical Organization, *Monthly Weather Review*, ۱۲۷: ۲۴۵۵-۲۴۶۴.
- Moncrieff, M.W. and T.P. Lane. ۲۰۱۵. Long-lived mesoscale systems in a low-convective inhibition environment. Part II: downshear propagation. *Journal of the Atmospheric Sciences*, ۷۲ (۱۱): ۴۳۱۹-۴۳۳۶.
- Moore, J. T.; F. H. Glass, C. E. Graves, S. M. Rochette and M. J. Singer. ۲۰۰۳. The environment of warm-season elevated thunderstorms associated with heavy rainfall over the central United States. *Weather and Forecasting*, ۱۸: ۸۶۱-۸۷۸.
- Morel, C. and S. Senesi. ۲۰۰۲. A climatology of mesoscale convective systems over Europe using satellite infrared imagery. *Quarterly Journal of the Royal Meteorological Society*, ۱۲۸: ۱۹۵۳-۱۹۷۱.
- Nicolini, M.; C. Saulo, J.C. Torres, P. Salio. ۲۰۰۲. Strong South American low level jet events characterization during warm season and implications for enhanced precipitation. *Meteorologica*, ۲۷: ۵۹-۶۹.
- Parker, M. and R. Johnson. ۲۰۰۴. Structures and dynamics of quasi-۲D mesoscale convective systems. *Journal of the Atmospheric Sciences*, ۶۱: ۵۴۵-۵۶۷.
- Peters, J.M. and R. S. Schumacher. ۲۰۱۴. Objective categorization of heavy-rain-producing MCS synoptic types by rotated principal component analysis. *Monthly Weather Review*, ۱۴۲: ۱۷۱۶-۱۷۳۷. doi:۱۰.۱۱۷۵/MWR-D-۱۳-۰۰۲۹۵,۱.
- Peters, J.M. and R.S. Schumacher. ۲۰۱۵. Mechanisms for organization and echo training in a flash-flood-producing mesoscale convective system. *Monthly Weather Review*, ۱۴۳ (۴): ۱۰۵۸-۱۰۸۵.
- Rigo, T. and M.C. Llasat. ۲۰۰۷. Analysis of mesoscale convective systems in Catalonia using meteorological radar for the period ۱۹۹۶-۲۰۰۰. *Atmospheric Research*, ۸۳ (۲): ۴۵۸-۴۷۲.
- Rigo, T.; M., Berenguer and M.C. Llasat. ۲۰۱۹. An improved analysis of mesoscale convective systems in the western Mediterranean using weather radar. *Atmospheric Research*, ۲۲۷: ۱۴۷-۱۵۶.
- Rotunno, R.; J. B. Klemp and M. L. Weisman. ۱۹۸۸. A theory for strong, long-lived squall lines. *Journal of the Atmospheric Sciences*, ۴۵(۳): ۴۶۳-۴۸۰.

- Schiesser, H.; Jr. R. Houze and H. Huntrieser. ۱۹۹۵. The mesoscale structure of severe precipitation systems in Switzerland. *Monthly Weather Review*, ۱۲۳ (۷): ۲۰۷۰-۲۰۹۷.
- Schumacher, R.S. and R.H. Johnson. ۲۰۰۵. Organization and environmental properties of extreme-rain-producing mesoscale convective systems. *Monthly Weather Review*, ۱۳۳ (۴): ۹۶۱-۹۷۶.
- Schumacher, R.S. and R.H. Johnson. ۲۰۰۶. Characteristics of U.S. extreme rain events during ۱۹۹۹-۲۰۰۳. *Weather and Forecasting*, ۲۱: ۶۹-۸۵. doi:۱۰.۱۱۷۵/WAF۹۰۰,۱.
- Schumacher, R. S. ۲۰۰۹. Mechanisms for quasi-stationary behavior in simulated heavy-rain-producing convective systems. *Journal of the Atmospheric Sciences*, ۶۶: ۱۵۴۳-۱۵۶۸.
- Tadesse, A. and E.N. Anagnostou. ۲۰۰۹. Characterization of warm season convective systems over US in terms of Cloud to Ground lightning, cloud kinematics, and precipitation. *Atmospheric Research*, ۹۱: ۳۶-۴۶.
- Tadesse, A. and E.N. Anagnostou. ۲۰۱۰. African convective system characteristics determined through tracking analysis. *Atmospheric Research*, ۹۸: ۴۶۸-۴۷۷.
- Takemi, T. ۲۰۰۶. Impacts of moisture profile on the evolution and organization of midlatitude squall lines under various shear conditions. *Atmospheric Research*, ۸۲(۱-۲): ۳۷-۵۴.
- Thomas, C.; T. Corpetti and E. Mémin. ۲۰۱۰. Data Assimilation for Convective-Cell Tracking on Meteorological Image Sequences. *IEEE Transactions on Geoscience and Remote Sensing*, ۴۸(۸): ۳۱۶۲-۳۱۷۷.
- Trier, S. B.; C. A., Davis, D. A. Ahijevych, M. L. Weisman and G. H. Bryan. ۲۰۰۶. Mechanisms supporting long-lived episodes of propagating nocturnal convection within a ۷-day WRF model simulation. *Journal of Atmospheric Science*, ۶۳: ۲۴۳۷-۲۴۶۱.
- Uccellini, L. W. and D. R. Johnson. ۱۹۷۹. The coupling of upper and lower tropospheric jet streaks and implications for the development of severe convective storms. *Monthly Weather Review*, ۱۰۷: ۶۸۲-۷۰۳.
- Viana, D. R.; F. E. Aquino, R. Burgobraga and N. Ferreira. ۲۰۰۹. Mesoscale Convective Complexes in Rio Grande Do Sul between October and December of ۲۰۰۳ and associated precipitation. *Revista Brasileira de Meteorologia*, ۲۴(۳): ۲۷۶-۲۹۱.
- Weisman, M.L. and J.B. Klemp. ۱۹۸۶. *Characteristics of isolated convective storms*. In: Ray, P.S. (Ed.), *Mesoscale Meteorology and Forecasting*. American Meteorological Society. Boston.
- Weisman, M.L. ۲۰۰۳. *Convective Storms: Overview*. Encyclopedia of Atmospheric Sciences ۲nd Edition, ۳: ۴۰۱-۴۱۰. <http://dx.doi.org/10.1016/B978-0-12-382220-3.00490-4>
- Weisman, M. L. and R. Rotunno. ۲۰۰۴. A theory for strong long-lived squall lines. *Journal of Atmospheric Science*, ۶۱(۴): ۳۶۱-۳۸۲. doi:۱۰.۱۱۷۵/۱۵۲۰-۰۴۶۹(۲۰۰۴)۰۶۱<۰۳۶۱:atfsls>۲.۰.co;۲.
- Zheng, L.; J. Sun, X. Zhang and C. Liu. ۲۰۱۳. Organizational modes of mesoscale convective systems over Central East China. *Weather and Forecasting*, ۲۸ (۵): ۱۰۸۱-۱۰۹۸.
- Zipser, E. J. ۱۹۸۲. *Use of a conceptual model of the life-cycle of mesoscale convective systems to improve very short-range forecasts*. Nowcasting, K. Browning, Ed., Academic Press.
- Zipser, E. J.; P. Salio and M. Nicolini. ۲۰۰۴. Mesoscale Convective Systems activity during SALLJEX and the relationship with SALLJ. *CLIVAR Exchanges*, ۲۹: ۱۴-۱۹.